

Links and Their Graphs

早大教育 鈴木晋一 (Shin'ichi Suzuki)

東海大理 近藤 久子 (Hisako Kondo)

序 結び目・絡み目 $L \subset \mathbb{R}^3$ の正則射影図 $\pi(L) \subset \mathbb{R}^2$ と
平面 \mathbb{R}^2 上の signed graph が一対一に対応することはかなり
昔から知られていて (Yajima-Kinoshita [Y-K] 他)。当然 \mathbb{R}^2
上の signed graphs は結び目・絡み目の研究に役立つはずであ
るが、これまで Aumann [A] と Crowell [Cr] に利用さ
れていただけだ、特に挙げるべき成果は無い。実際

(イ) 結び目・絡み目の正則射影図を直接取扱うのと対応す
る signed graph を取扱うとの間に特に注目すべきような差
が見つかっていないこと、

(ロ) signed graphs の理論それ自体にほとんど見らるべき結果
が無いこと、

などが主な原因と思われる。(イ)に関して言えば、結び目・
絡み目に対応する signed graphs の組織的な例が少ないこ
とも一因であろう。実際 Alexander-Briggs [A-B] や Reidemeister

[Re] の 9-crossings までの素な結び目の正則射影図の一覧表を直接・間接に利用して得られた結び目の成果は相当のものであると思われる。こんな思いもあって筆者は signed plane graphs の分類を利用して結び目・絡み目の分類の作業を行ってみることにした。この小論文は、まず結び目・絡み目の正則射影図に対応する signed plane graph の簡単な紹介をし、次に有向結び目・有向絡み目に对应する signed-coded digraphs を紹介し、10-crossings の素な文番結び目に对应する size 10 (= edges の個数が 10) の plane graphs の分類を、上記の作業の途中経過として、報告する。

ついで (ロ) について触れておく。signed graphs そのものの研究が Graph Theory の中では本流からはずれていたらしく、一般の graphs の本には定義すら載っていない。Harary et al [H-N-C] の第 13 章に “balanced” の概念を中心とした記事がある。心理学・社会学などに適当な応用があるようだ、この方面的の論文が少數ながら見つかせる。

§1. 絡み目に对应する Signed Graphs

与えられた tame な 絡み目 $L \subset \mathbb{R}^3$ は、必要ならば \mathbb{R}^3 の (small) ambient isotopy を施すことによって、射影 $\pi: \mathbb{R}^3 \rightarrow \mathbb{R}^2$, $(x, y, z) \mapsto (x, y, 0)$, において 正則 (regular) な位置にある

としてよい；すなはち $\pi|_L$ の特異点は L の edges の内点における有限個の 2 重点のみである。このとき、正則射影図 $\pi(L)$ は、2 重点を vertices として採用し、2 つの 2 重点を結ぶ $\pi(L)$ の弧を edges として採用することによって、 \mathbb{R}^2 上の 4-regular graph (一般に loops や multiedges を含む) と看做すことができる。しかもこの graph $\pi(L) \subset \mathbb{R}^2$ は 2-map colorable であることが容易に証明される……すなはち $\mathbb{R}^2 - \pi(L)$ の各領域に 2 色 (例えば白と黒) のうちの 1 色を塗って、edges を共有する領域同志には異なる色が塗られるようになることができる。さて $\mathbb{R}^2 - \pi(L)$ の領域をこのように白黒 2 色で彩色したとき、次のようにして $\pi(L)$ に signed graph $\Sigma(\pi(L)) \subset \mathbb{R}^2$ を対応させると：

$\mathbb{R}^2 - \pi(L)$ の黒領域の集合を $\mathcal{B} = \{B_0, B_1, \dots, B_v\}$ とする。

(I) $\pi(L)$ が連結の場合： 各 $B_i \in \mathcal{B}$ は vertex v_i ($i = 0, 1, \dots, v$) を対応させ、 $\pi(L)$ の vertex (i.e. 2 重点) D_k は signed edge e_k を図 1 の規則によって対応させると；すなはち



図 1

$B_i \cap B_j$ の共通の vertex $D_k := v_i \cap v_j$ を結ぶ edge e_k を対応させ、edge e_k の sign $s(e_k) = \eta(D_k)$ とする。この結果 signed graph $\Sigma(\pi(L)) = ((V, E), s)$,

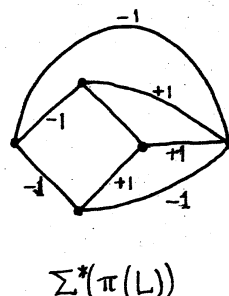
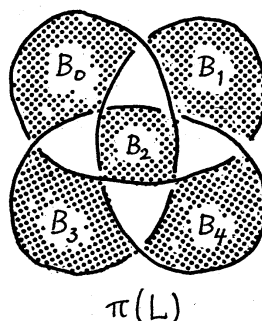
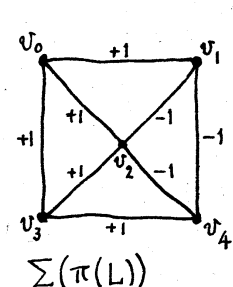
$$V = \{v_0, v_1, \dots, v_n\},$$

$$E = \{e_1, e_2, \dots, e_\varepsilon\} \quad (\varepsilon \text{ は } \pi(L) \text{ の vertices の個数}),$$

$$s: E \rightarrow \{-1, +1\}; \quad s(e_k) = \eta(D_k).$$

が得られる。graph (V, E) は連結で自然に \mathbb{R}^2 に埋蔵されてくる。

同一の射影図 $\pi(L) \subset \mathbb{R}^2$ について、黒領域と白領域を交換して得られる彩色に対して、上の規則によって得られる signed graph を $\Sigma^*(\pi(L))$ と示す。 $\Sigma^*(\pi(L)) = ((V^*, E^*), s^*)$ すると、図 1 から容易にわかるように（図 2 の例参照）、graph (V^*, E^*) は graph (V, E) の dual graph (Harary [H, p.113] 等参照) で、edge $e_k \in E$ と edge $e_k^* \in E^*$ が vertex $D_k \in \pi(L)$ に対応するととき、 $s^*(e_k^*) = -s(e_k)$ が成立立つ。 $\Sigma^*(\pi(L))$ と $\Sigma(\pi(L))$ の dual と呼ぶ； $(\Sigma^*(\pi(L)))^* = \Sigma(\pi(L))$ である。



(II) $\pi(L)$ が連結でない場合 : $\pi(L)$ の連結成分ごとに上に述べた (I) の規則で signed graphs を作り, それらの disjoint union を $\Sigma(\pi(L))$ とする。

$\Sigma(\pi(L))$ の dual signed graph $\Sigma^*(\pi(L))$ も, $\Sigma(\pi(L))$ の各連結成分ごとに dual signed graph を (I) のように定め, それらの disjoint union を定義する。

上の定義から, 次の命題が直ちに得られる:

1.1 Proposition $\pi(L)$ が (交番) 絡み目 L の交番射影ならば, $\Sigma(\pi(L))$ の (従って $\Sigma^*(\pi(L))$ の) edges の signs はすべて同一である。□

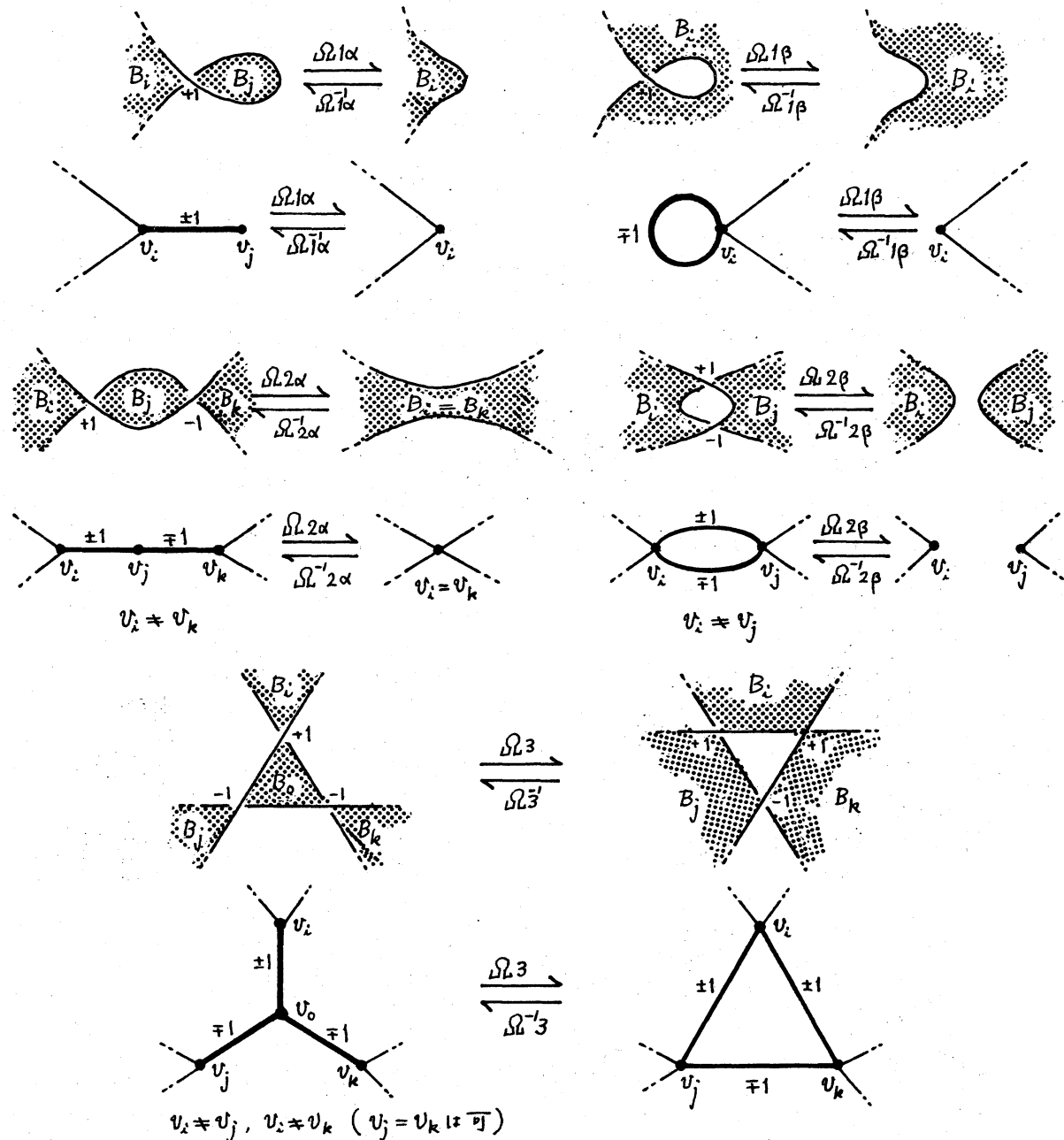
1.2 Proposition 射影 π に関する正則な位置にあり結み目 $L \subset \mathbb{R}^3$ の, 平面 \mathbb{R}^2 に関する鏡像を L' とすれば, $\pi(L) = \pi(L')$ で, 対応する signed graphs $\Sigma(\pi(L)) = ((V, E), s)$ と $\Sigma(\pi(L')) = ((V', E'), s')$ に関しては $(V, E) = (V', E')$, $s' = -s$ が成立する。□

さて結み目 L と L' が \mathbb{R}^3 のイソトピーで移り合うならば, $\pi(L)$ と $\pi(L')$ は今日 Reidemeister moves ([Re]) と呼ばれている 3 種類の基本変形の有限列によって移り合うことが知られていく。そこからこれら的基本変形に対応する signed graphs の基

本表形を導入する ([Y-K, §3])。便宜上、緒み目の正則射影図

a Reidemeister moves と対にして図で定義する。

1.3 定義 次に挙げる \mathbb{R}^2 上の signed graphs の変形 $\Omega_{\pm}^{\pm 1\alpha}$, $\Omega_{\pm}^{\pm 1\beta}$, $\Omega_{\pm}^{\pm 2\alpha}$, $\Omega_{\pm}^{\pm 2\beta}$, $\Omega_{\pm}^{\pm 3}$ を Reidemeister moves と呼ぶ:



$v_i = v_i'$ 且 v_i と v_i' の edges の signs は複号同順とする。

1.4 定義 (1) \mathbb{R}^2 上の signed graphs Σ と Σ' が URL 同値 であるとは、

\mathbb{R}^2 上の signed graphs の有限列

$$\Sigma = \Sigma_0, \Sigma_1, \dots, \Sigma_n = \Sigma'$$

が存在し、 Σ_{i-1} と Σ_i は \mathbb{R}^2 上でイントーフで移れとか、 Σ_i は Σ_{i-1} から Reidemeister moves のいずれか 1 つで移れる ($i=1, \dots, n$) ときをいい、 $\Sigma \sim_{URL} \Sigma'$ と示す。また Σ を代表元とする URL 同値類を $[\Sigma]$ と示す。

(2) 平面上の signed graph Σ が strict であるとは、 Σ に対して edges の個数を減らす菱形 URL $1\alpha, URL1\beta, URL2\alpha, URL2\beta, URL3$ のいずれか適用できない場合をい。注意 $[\Sigma]$ 上について strict を代表元が存在する。

(3) 平面上の signed graph Σ の連結成分の個数を $\omega(\Sigma)$ と表すとき、次のように定義する：

$$\omega[\Sigma] = \max \{ \omega(\Sigma') \mid \Sigma' \in [\Sigma] \}.$$

$\omega[\Sigma] = \omega(\Sigma')$ となる $\Sigma' \in [\Sigma]$ は当然 strict であるか逆は必ずしも成立しない。 $\omega[\Sigma]$ が well-defined であるとの証明は、Goeritz 行列 (Goeritz [G], c.f. [S]) の nullity などを用いて得られるが、ここでは省略する。

緒み日 $L \subset \mathbb{R}^3$ に対応する signed graph $\Sigma(\pi(L))$ (の URL 同値類) が定まつたので、あえて問題を整理すると次のよう�述べる。

べることかきよう：

問題(1) 結び目・絡み目の性質の中で、対応する signed graphs を用いて判定する方が有利なものはないか？

一般にある種の対称性などを図から調べる際には、signed graphs にしておがめる方が判り易いことが多い ([Y-K, §4] 参照)。少し異質だが、

問題(2) 特に結び目 a triviality の判定を signed graphs で解決できないか？

問題(3) signed graphs の性質から、結び目・絡み目の有効な性質・特徴・特性等を定義できないか？

これに関する序で述べた (口) がネットである。最も容易に導びかれる signed graphs の Δ -同値類の 不変量としては、前章で述べた Goeritz 行列から導びかれる elementary ideals の列がある。 ([S] を参照されたい。いずれもう少し深く研究してまとめてみたいと思ってい。)

問題(4) signed graphs の Reidemeister moves を組み合せて得られる graphs の変形を、有効なものと多數挙げて整理せよ。

これについては [Y-K, §3], [To] にいくつか挙げてある。この小論の第3節に、素な結び目の分類に関する変形を整理してみた。

§2. 有向絡み目に対応する Signed Coded Digraphs

前節の 1.3 で図示した絡み目の正則射影図に関する Reidemeister moves は、絡み目のイソトピー型を保つから、有向絡み目も取扱える。小林一章氏は [Ko.1], [Ko.2] 等で有向絡み目の正則射影図に 対応する signed coded digraphs を是義し、有向絡み目と Homfly 多項式の計算・特徴付けなどに応用を試みて いる。小林氏の是義では、 $\pi(L)$ から graph (V, E) を作る 是義は §1 と同じだが、edges に与える signs: $E \rightarrow \{1, -1\}$ の是義が §1 のとは異なる。そんなわけで、今ここで特に応用はないが、有向絡み目に 対応する別種の signed coded digraphs の是義を、後で a ために挙げておく。

有向絡み目 $L \subset \mathbb{R}^3$ と正則射影図 $\pi(L)$ に対して、向きを無視することによって §1 の規則によると signed graph $\Sigma(\pi(L)) = ((V, E), s)$ を得る。edge $e_k = v_i v_j \in E$ に対して、次の規則により coding & orientation を与える：

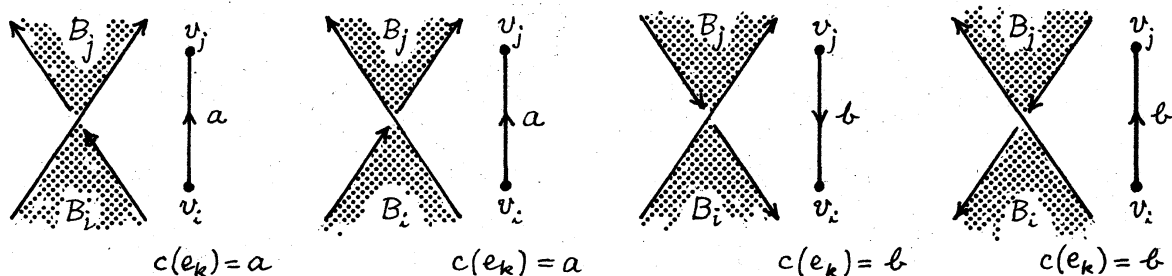


図 2

一般に graph $G = (V, E)$ に対して、写像

$$c : E \rightarrow \{a, b\}$$

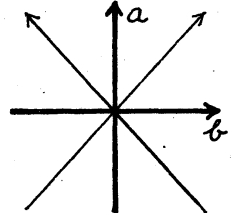
を G 上の coding と呼び、 $e \in E$ に対して $c(e)$ を e の code と呼ぶことにする。この結果、有向絡み目 L の正則射影図 $\pi(L)$ に対して、signed coded digraph

$$\Gamma(\pi(L)) = ((V, E), s, c)$$

が対応する。

(同一の射影図 $\pi(L) \subset \mathbb{R}^2$ について、黒領域と白領域を交換して得られる彩色に対して得られる signed coded digraph を $\Gamma^*(\pi(L)) = ((V^*, E^*), s^*, c^*)$ と書き、 $\Gamma(\pi(L))$ の dual という。edge $e_k \in E$ と edge $e_k^* \in E^*$ と vertex $D_k \in \pi(L)$ に対応するとき、

$$c^*(e_k^*) = \begin{cases} a & \text{if } c(e_k) = b, \\ b & \text{if } c(e_k) = a \end{cases}$$



が成立し、 e_k と e_k^* の交叉は図3のように

図3

なる。(尚、上記の coding と orientation の決め方は [Ko.1] と同じである。)

signed coded digraph を図示する際は、orientation は普通矢印で示し、各 edge $e \in E$ について sign $s(e)$ と code $c(e)$ とを合せて $+a, -a, +b, -b$ の符号を e に与えればよい。また signed coded digraphs の Reidemeister moves は有向絡み目の正則射影図 $\pi(L)$ の Reidemeister moves に対応して自然に定

めればよい。ここの詳細は省略する。

上の是れから、次の命題が直ちに得られる：

2.1 Proposition 射影 π について正則な位置にある有向絡み目 $L \subset \mathbb{R}^3$ の、平面 \mathbb{R}^2 に囲む鏡像を L' とすれば、
 $\pi(L) = \pi(L')$ で、対応する signed coded digraphs $\Gamma(\pi(L)) = ((V, E), s, c)$ と $\Gamma(\pi(L')) = ((V', E'), s', c')$ については、次が成立する： $(V, E) = (V', E')$ (digraphs として),

$$s' = -s, \quad c = c'.$$

□

2.2 Proposition 射影 π について正則な位置にある有向絡み目 $L \subset \mathbb{R}^3$ の向きを変えて得られる有向絡み目を $-L$ とすれば、 $\pi(L) = \pi(-L)$ で、対応する signed coded digraphs $\Gamma(\pi(L)) = ((V, E), s, c)$ と $\Gamma(\pi(-L)) = ((\bar{V}, \bar{E}), \bar{s}, \bar{c})$ については、次が成立する：

$$(V, E) = (\bar{V}, -\bar{E}) \quad \left(\begin{array}{l} \bar{E} \text{ は } E \text{ の orientation を逆} \\ \text{にしたも} \end{array} \right),$$

$$s = \bar{s}, \quad c = \bar{c}.$$

□

§3 Enumeration of Knots and Links by Signed Graphs

前世紀の後半、Tait [Ta], Kirkman [Ki], Little [L] らによつて絡み目の最小交叉点数を基準にした分類表作りが始まった。当時はまだ「topology」が明確になっていなかったが、驚く程正確な分類である。9-crossings 迄の素な結び目一覧表の完

成は Alexander-Briggs [A-B] までかかった (c.f [Re])。その後 Anger [An] によると Alexander 多項式の計算例などがあったのか、相当に長く間 “enumeration” は特に進展が無かった。1969年に Conway [Co] は basic polyhedra と名付けた少數の平面グラフと algebraic tangles を用いて 11-crossings までの素な結び目と 10-crossings までの素な絡み目の一覧表を公表し、Conway の potential polynomials と共にその後の Knot Theory に多大の影響を与えた。例えば 10-crossings の結び目・絡み目の分類においては、basic polyhedra $1^* \sim 10^{***}$ の vertices のところに 10-crossings となるよう algebraic tangles に入れてみて、各種の結び目不変量を用いて重複を除き同定していくことになる。中西康剛氏の試算によれば、 n -crossings の algebraic tangles の個数は次の表のようになる：

n	1	2	3	4	5	6	7	8	9	10	11	12
	1	2	2	6	17	62	≤ 274	≤ 639	≤ 1959	≤ 6490	≤ 21305	≤ 73400

n -crossings algebraic Tangles の個数

従って論文には現われない膨大な作業があったはずで、[Co] の表には Perco [P₂] による指摘だけでもミスプリントも含めて 11ヶ所の誤りがある。Conway の仕事を基にして、Perco [P₁] では 10-crossings の素な結び目の一覧が、[P₂] では 11-crossings の素な結び目の一覧がある。また Rolfsen [Ro] の付

録の 10-crossings までの素な結び目の図と 9-crossings までの素な結び目の図も [Co] を基礎したものである ($10_{161} = 10_{162}$ で 1 つ多い。 10_{144} の図は誤りで、 10_{83} と 10_{86} は図を交換する。多項式には少なくて 4 つの誤りがある。[N₂] 参照)。中西 [N₂] の付録には 11-crossings の素な結び目の図がある (ただし交番結び目だけが少なくて 9 個の図には誤りがある。)

一方、最近 Dowker-Thistlethwaite [D-T] では Tait [Ta] の方法を改良し、computer によって enumeration を行っている。enumeration の歴史等については、Thistlethwaite [Th] に自身の仕事を解説を含めて詳しい報告があるので、中西 [N₁] と共に参考されたい。

尚、この研究集会の後、樹下真一先生から次の御指摘がありましたので、ここに収録しておきます。

Thistlethwaite によれば、crossing number が 13 までの素な結び目の個数は以下の通り：

3	4	5	6	7	8	9	10	11	12	13
1	1	2	3	7	21	49	165	552	2176	9988
Total: 12965										

- Remarks:
1. $\Delta(t)=1$ for 19 knots,
 2. 5639 different $\Delta(t)$'s,
 3. 10595 different 2-variable polynomials,
 4. Representations of $\pi_1(S^3 - k)$ of degree ≤ 6 make the above table complete.

さて平面上の signed graphs を用いて結び目・絡み目の enumeration を実行する際、まず次が基本となる：

(1) n -crossings ($n \geq 3$) の結び目・絡み目 L に対応する plane graph (= 射影図) $\pi(L)$ は連結であるとしてよい。すると $\pi(L)$ の order (= vertices の個数) = n ,

$$\text{size} (= \text{edges の個数}) = 2n.$$

従って $\mathbb{R}^2 - \pi(L)$ の領域の個数は、Euler-Poincaré formula より $n+2$ となる。そこで $\sum(\pi(L))$ と $\sum^*(\pi(L))$ のうち、order の小さい方を $\sum(\pi(L))$ として採用することにすれば、

$$\sum(\pi(L)) \text{ の order } \leq \left[\frac{n+2}{2} \right],$$

$$\sum(\pi(L)) \text{ の size} = \pi(L) \text{ の order} = n.$$

(2) 特に素な結び目・絡み目に制限するから

$\sum(\pi(L))$ は cut-vertex を持たない (= 2-connected)

としてよい。もちろん strict なものに制限してよい(1.4)。

(3) 向きを逆転する同相写像 $\phi: \mathbb{R}^3 \rightarrow \mathbb{R}^3$ によって移り合う結び目・絡み目も equivalent とするから、

$$\sum(\pi(L)) \text{ の } -1 \text{ sign を持つ edges の数} \leq \left[\frac{n}{2} \right]$$

としてよい (Prop. 1.2)。

(4) 平面 \mathbb{R}^2 上の signed graphs の分類も、イソトピーによる分類よりも弱いもので十分である。實際、序で述べたように、自然に球面 S^2 上の signed graphs について、次のような(同)

値関係を分類する：

signed graphs $\Sigma, \Sigma' \subset \mathbb{S}^2$ が同値； $\Sigma \sim \Sigma'$ を示す。

$\Leftrightarrow \exists$ 同相写像 $\varphi: \mathbb{S}^2 \rightarrow \mathbb{S}^2$ ($\varphi(\Sigma) \cong \Sigma'$ が \mathbb{S}^2 上で,
signed graphs として \mathfrak{B} -equivalent).

一方, graphs の方には, 次のような背景がある：

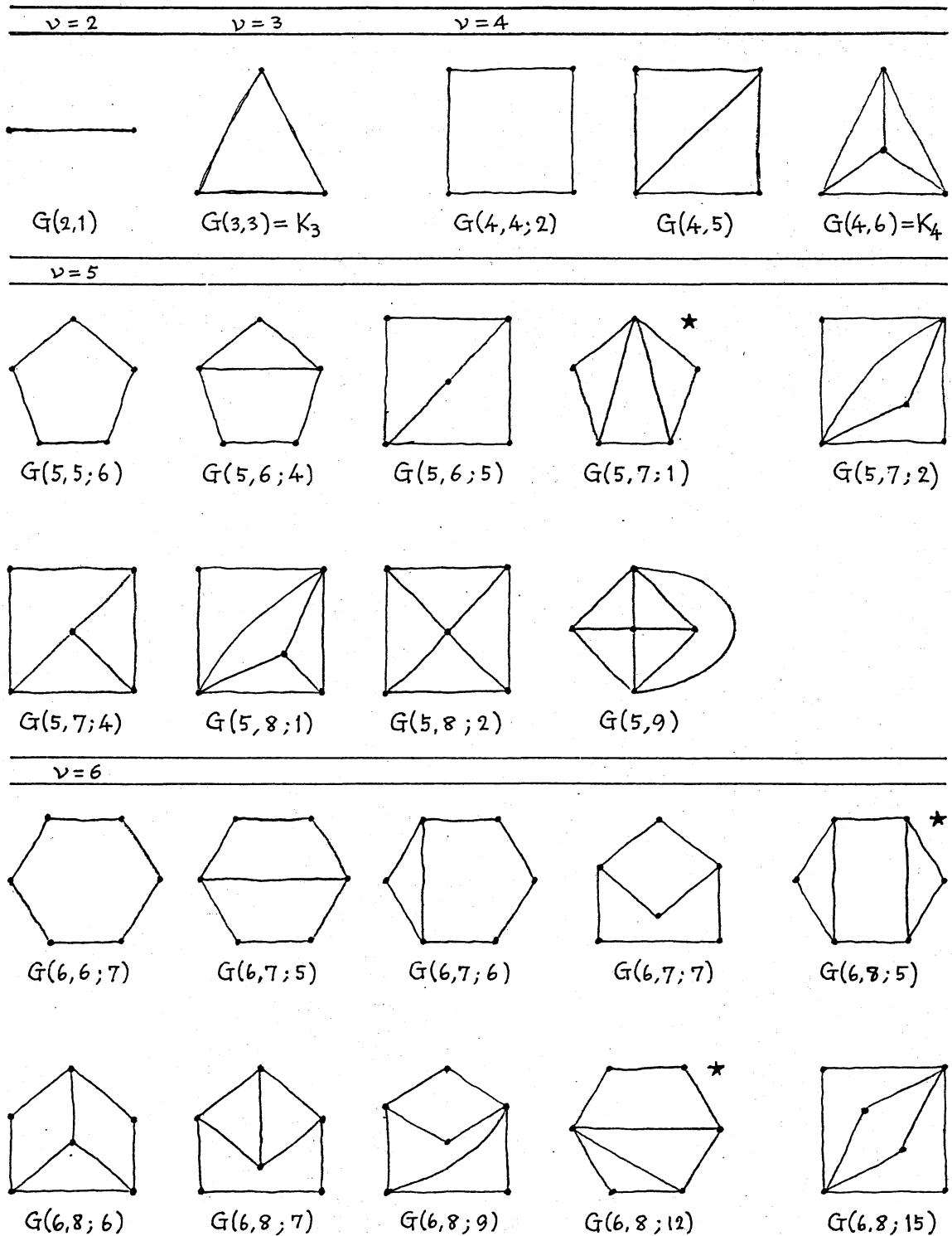
(5) simple graphs の同型類の分類表がある。例えは
order ≤ 6 までの図が Harary [H] の巻末にある。またこれら
の order の小さい simple graphs については, 自己同型群がわ
かっている。

参考までに simple graphs の同型類の個数を収録する：

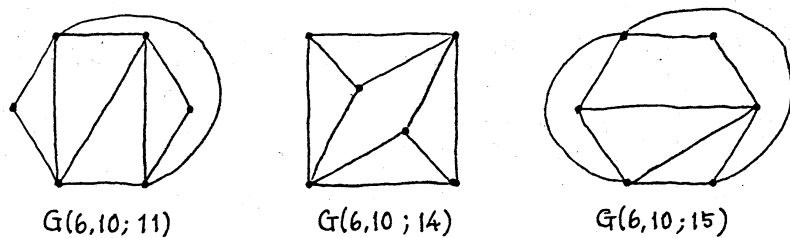
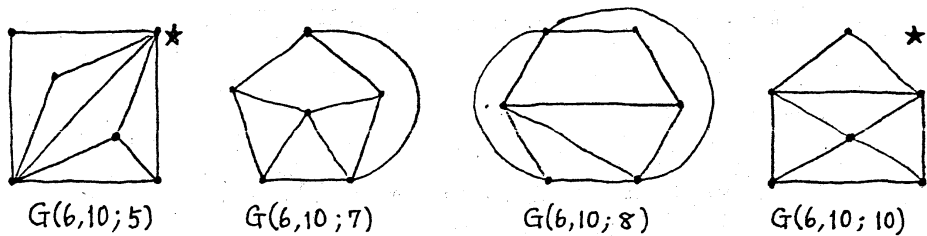
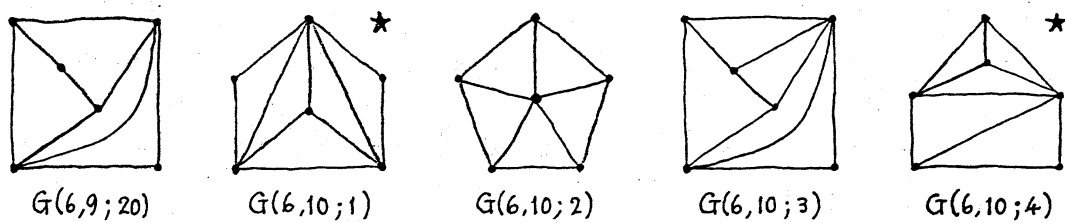
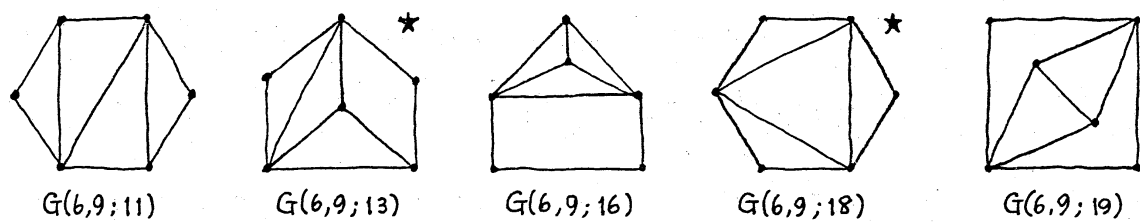
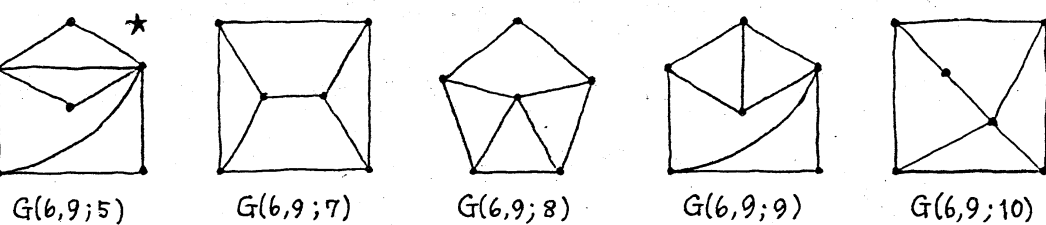
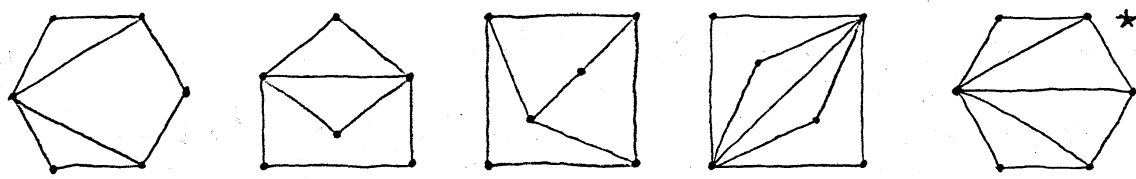
$p \setminus q$	1	2	3	4	5	6	7	8	9
0	1	1	1	1	1	1	1	1	1
1		1	1	1	1	1	1	1	1
2			1	2	2	2	2	2	2
3				1	3	4	5	5	5
4					2	6	9	10	11
5						1	6	15	21
6							1	6	21
7								4	24
8									2
9									1
10									21
11									131
12									402
13									771
14									148
15									1637
16									9
17									148
18									980
g_p	1	2	4	11	34	156	1044	12344	308168

Harary [H] によると: p は order, q は size を示す。

(1), (2) を考慮すれば、10-crossingsまでの結び目・結み目の enumeration に必要なものは次の 51 個の graphs である：



*印は embeddings が (4) の意味で一意的でないことを示す。



たとえ $G(p,q;n)$ は、
 p は order,
 q は size,
 n は $G_{p,q}[\text{H}]$ の
 n 番目のグラフで
あることを示す。

(6) multigraphs の分類表はないが、(5) より size の小さな multigraphs の分類表を作ることは容易である。特に結び目・絡み目の enumeration のためには、例えは 10-crossings までならば、(5) で挙げた 51 件の simple graphs のうち最後の 11 件を除く 40 件について、edges を加えて $\text{size} \leq 10$ の multigraphs を作り、それらの同型類を与えればよい。 $\text{size} = 10$ の場合を次節で示す。

(7) 次に (6) で得られた loopless multigraphs の同型類を、(4) の意味での同値類に分類する。(5) の図で示したように、 \mathbb{P}^2 への embeddings は必ずしも一意的でないが、10-crossings までの結び目・絡み目の enumeration に関しては embeddings は依らないことが確かめられる。(11-crossings になれば、抽象的な signed graphs としては同型でも embeddings は依って ~ 同値でないものが数組現われる。) 次節では、(6) で与えた $\text{size} = 10$ の multigraphs の同型類について、~ 同値類を与える。

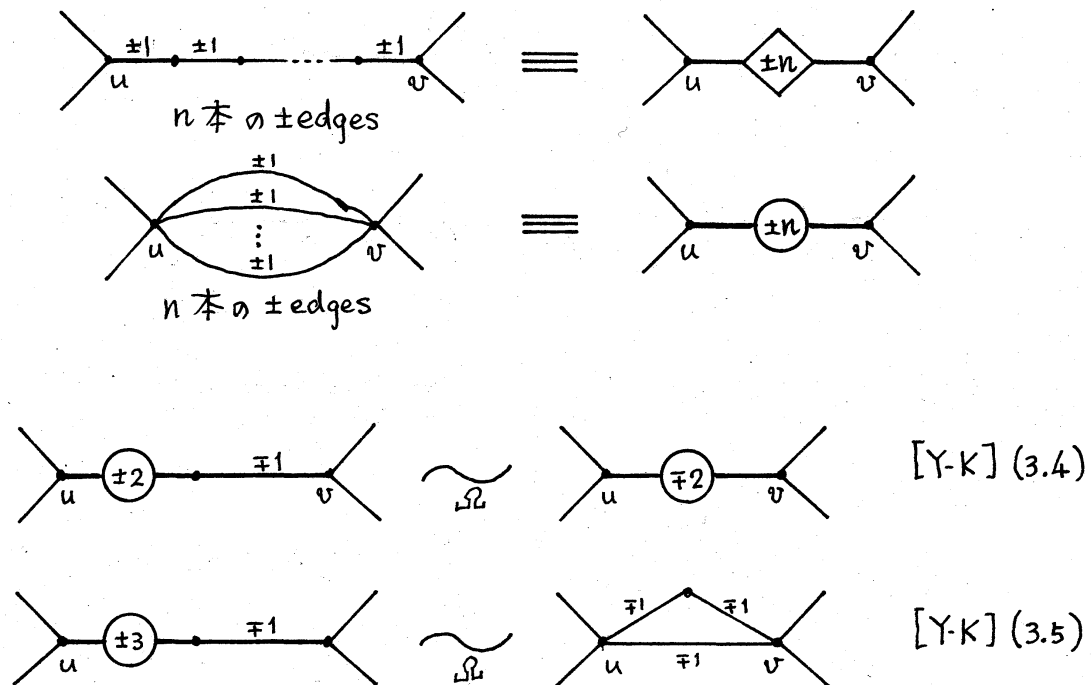
(8) 最後に上の (6), (7) を基にして (3) の範囲で signed graphs の同型類の分類表およびそれらの ~ 同値類による分類表を作る必要がある。これも手間はかかるが、むづかしくない。実際には、(7) の後、各 ~ 同値類について、1 つへ代表元を選んで strict a 範囲での分類表を作れば十分である。今回 a 報告ではこの部分は省略する。

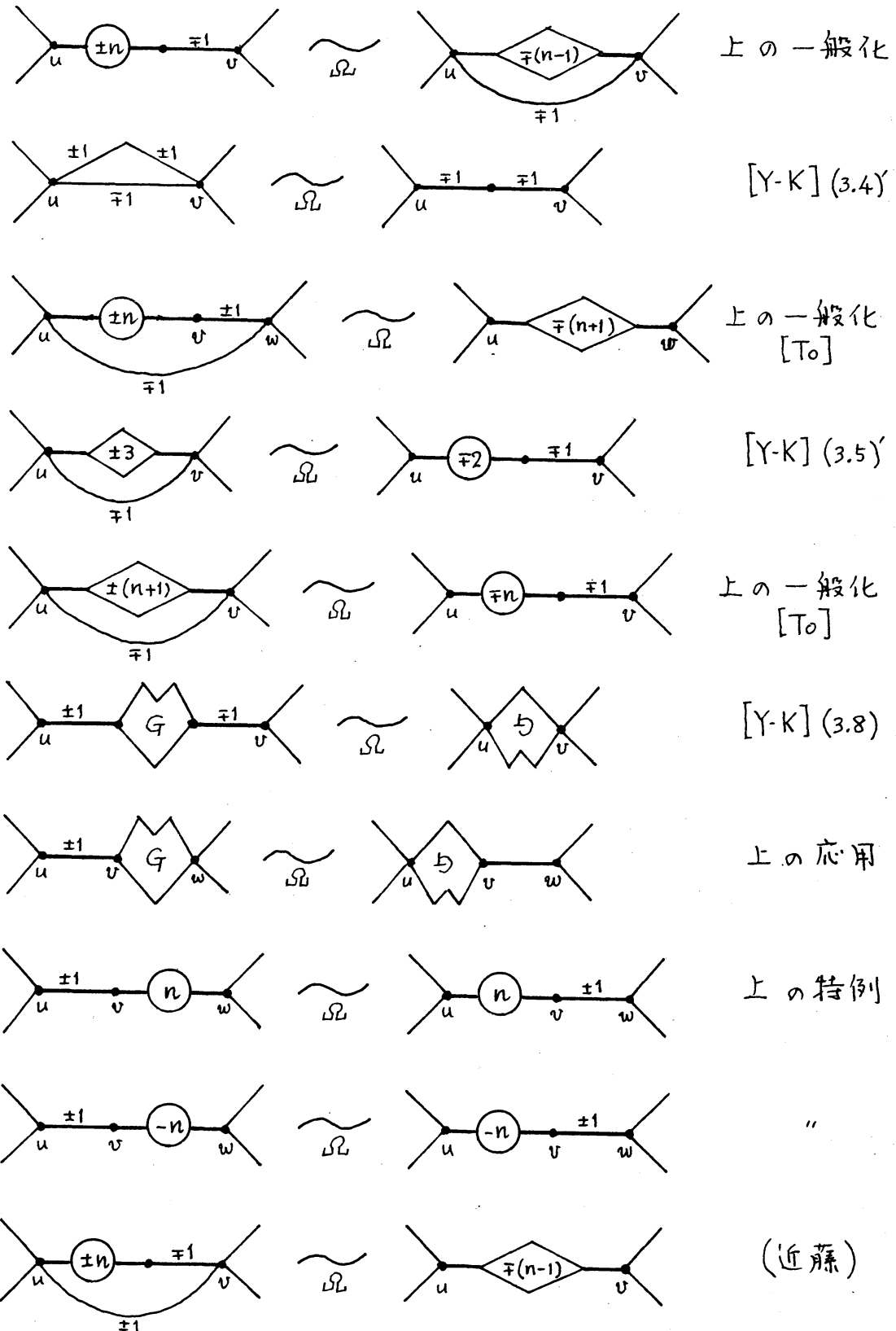
尚, signed graphs の同型類の個数を求める多項式も得られ
ており [H-P-R-S], 表もあるので参考までに示しておく。

p : order	s_p	s_p^*
1	1	1
2	3	1
3	10	2
4	66	6
5	792	20
6	25506	86
7	2302938	662
8	591901884	8120
9	420784762014	171526
10	819833163057369	5909259
11	4382639993148435207	348089533
12	64588133532185722290294	33883250874

Signed graphs and self-dual signed graphs.

(9) 次節で enumeration と降りて有効な signed graphs の Ω -equivalent を変形を列挙する (§1. 問題(4) 参照)。証明は省略するが、いずれもむずかしくない。次の Notation を採用する:





ただし、いずれも signs の複号は (3)順とする。

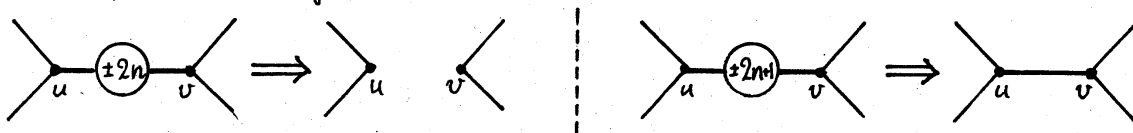
(10) signed graph $\Sigma \subset \mathbb{S}^2$ が与えられたとき、これに対応する絡み目 L の成分の個数はいくつになるであろうか。図1に従って L の射影図 $\pi(L)$ を復元して数えればよいわけであるが、 Σ の size が大きい場合は面倒である。

(イ) $\pi(L)$ の交叉の上下を適当に交換して、成分の個数をえずに平凡型の絡み目（= 射影図）にすることができる。
これがわかってから

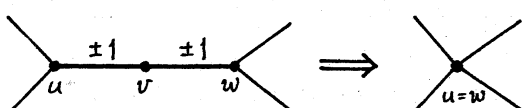
(ロ) Σ の edges の sign を適当に変えて $\Omega_{1\alpha}, \Omega_{1\beta}, \Omega_{2\alpha}, \Omega_{2\beta}$ Ω_3 を適当に施すことによって、edges を持たない vertices だけの graph に変えることができる； α vertices の個数が Σ の成分の個数である。

しかし実際には (ロ) の作業をするのは面倒だから、 $\Omega_{1\alpha}, \Omega_{1\beta}, \Omega_{2\alpha}, \Omega_{2\beta}$ は (イ) に相当する次の 2 つの変形を加えて、 Σ の size を小さくしてから、図1に従って射影図を描くのが実用的である：

N_1 : multiedges を mod 2 で考える；



N_2 : degree 2 の vertex の両側の edges を contract する；

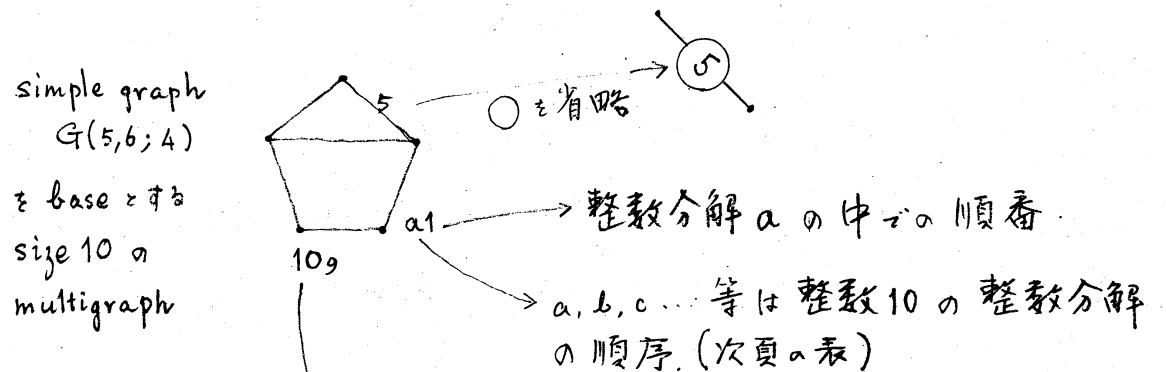


この結果、 Σ は簡単に 3-connected な simple graph となる。これに $\text{LR}_3^{\pm 1}$ をうまく施せばさらに size が小さくなることがあるが、實際には射影図を描いてみる方が早い。

§4. Size = 10, Order ≤ 6 の Multigraphs の分類.

この節では、前節(6), (7)での約束を実行する。ここで考える範囲では、embeddings あくまで 1 つであるので、一部は対称性を重視して embedding の状態を壊した図を描いた。必要ならば前節(5)にならって embedding にするといい。

図は次の規則で描いてある：



10-crossing prime knot の 9 番目 (Rolfsen [Ro])
 に対応する図を示す。

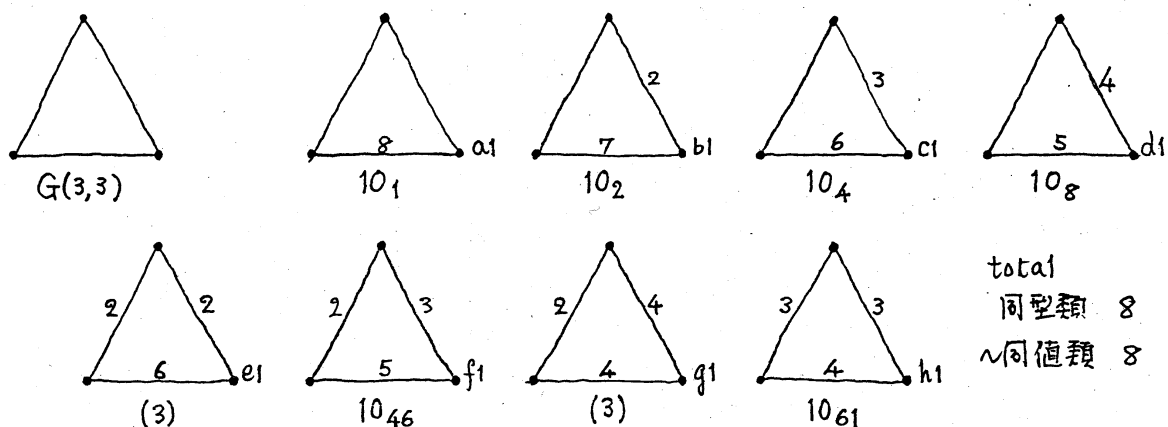
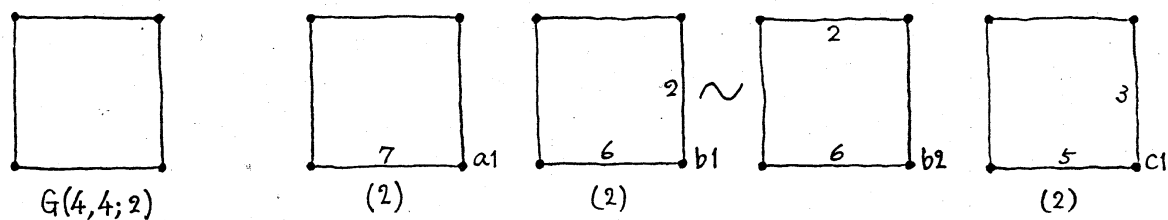
この位置に (2) のように記入してある場合は、
 対応する結み目が 2 components であることを示す。

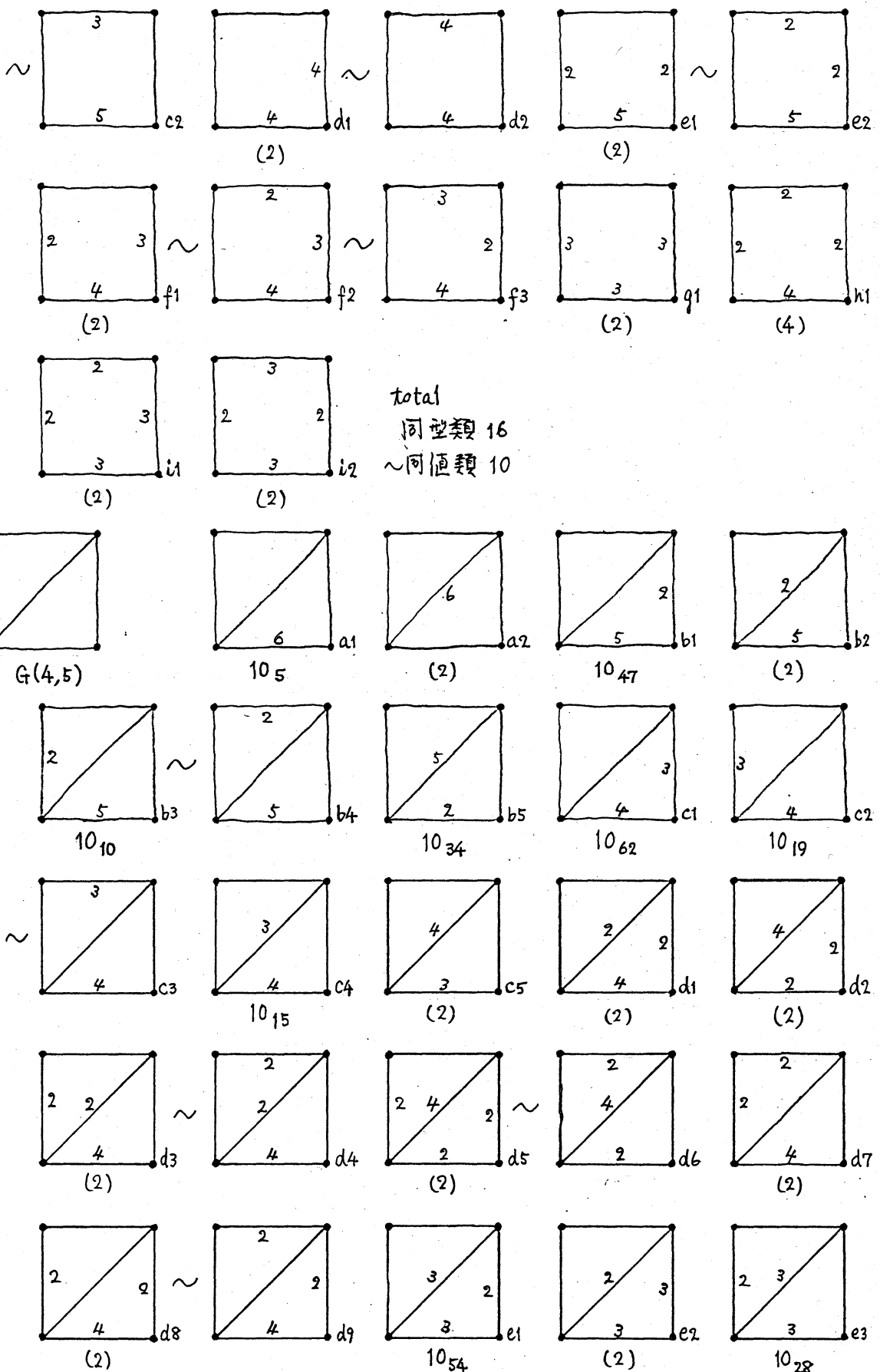
$$v=2$$

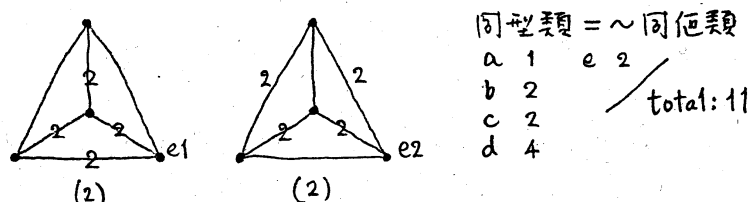
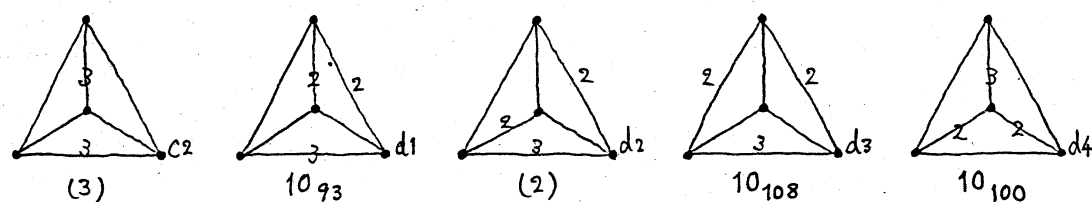
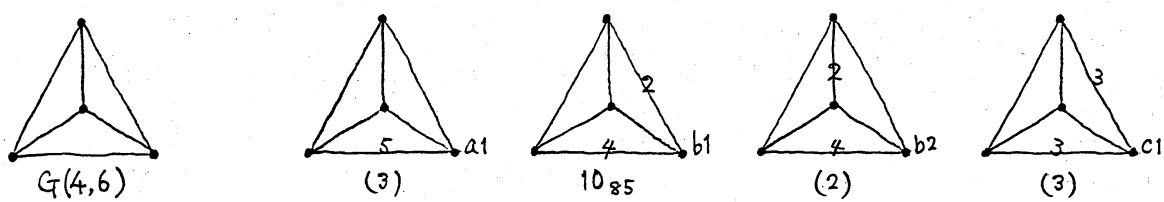
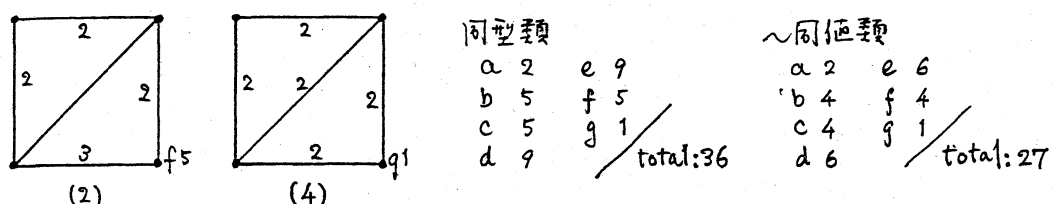
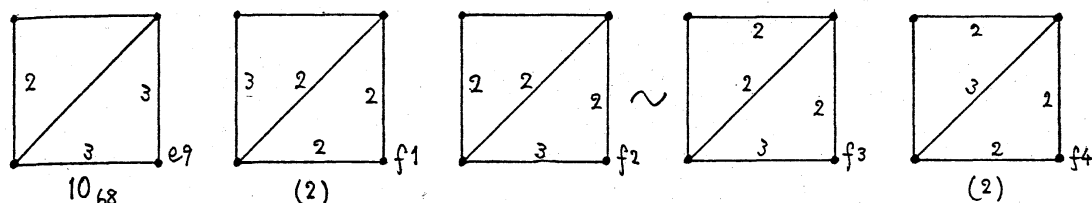
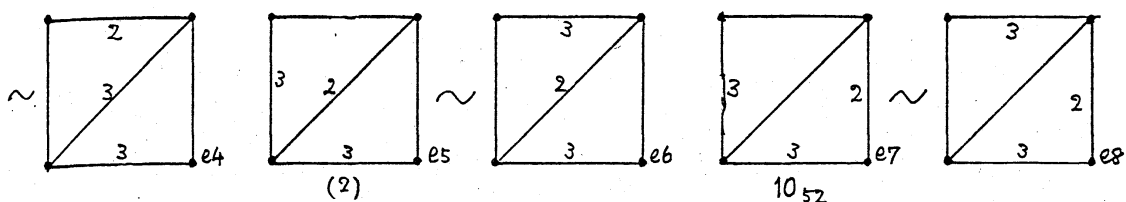
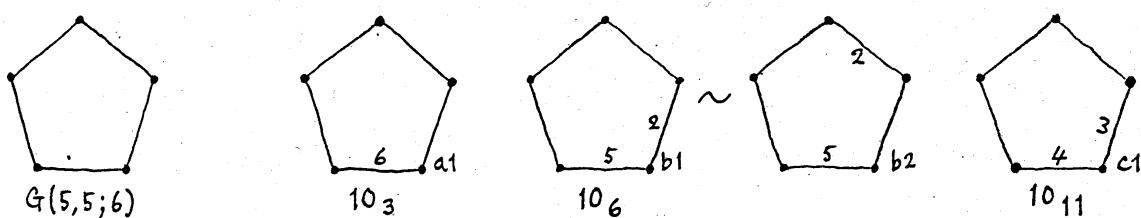
→ これが base とする size 10 の multigraph は 1 つ
 $G(2,1)$ (2)

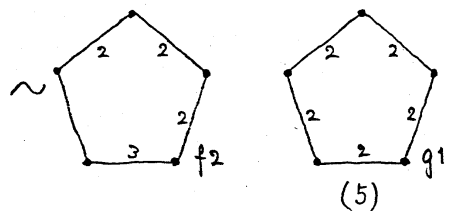
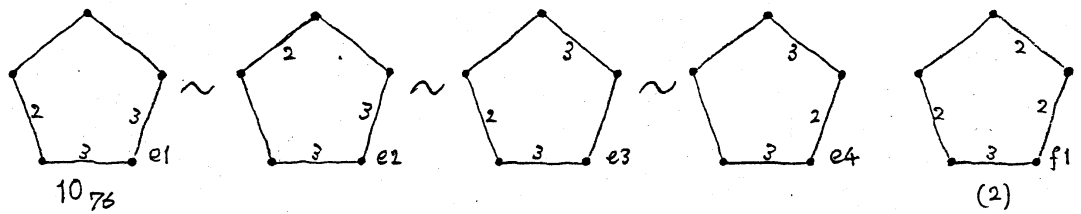
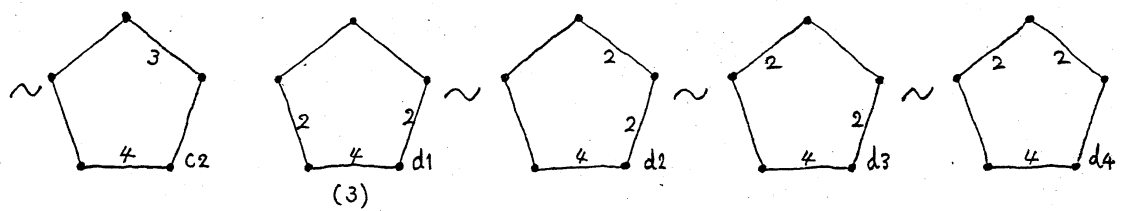
10の整数分解の表 (baseとなるsimple graphのsize εに対応)

$\varepsilon = 3$	$\varepsilon = 4$	$\varepsilon = 5$	$\varepsilon = 6$
a: 118	a: 1117	a: 11116	a: 111115
b: 127	b: 1126	b: 11125	b: 111124
c: 136	c: 1135	c: 11134	c: 111133
d: 145	d: 1144	d: 11224	d: 111223
e: 226	e: 1225	e: 11233	e: 112222
f: 235	f: 1234	f: 1223	
g: 244	g: 1333	g: 22222	
h: 334	h: 2224		
i: 2233			
$\varepsilon = 7$	$\varepsilon = 8$	$\varepsilon = 9$	
a: 1111114	a: 11111113	a: 111111112	
b: 1111123	b: 111111122		
c: 1111222			

 $v=3$  $v=4$ 



 $v = 5$ 



同型類

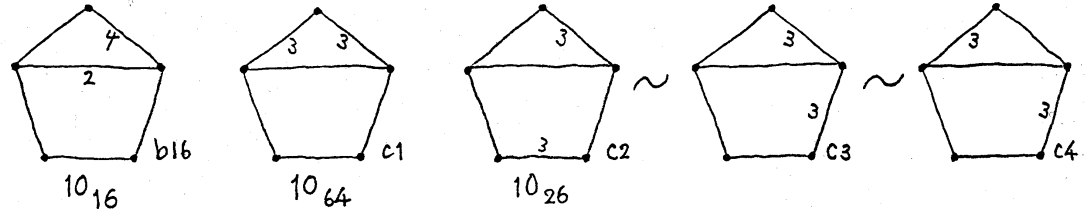
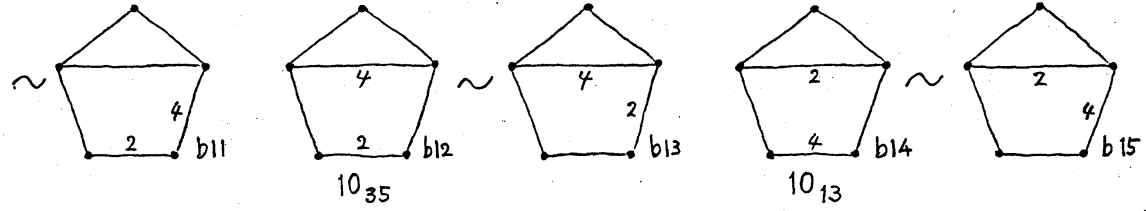
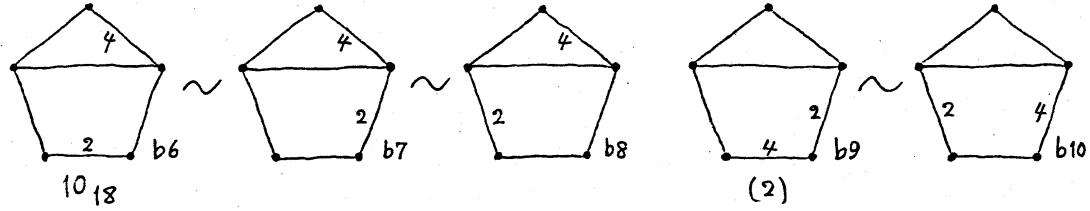
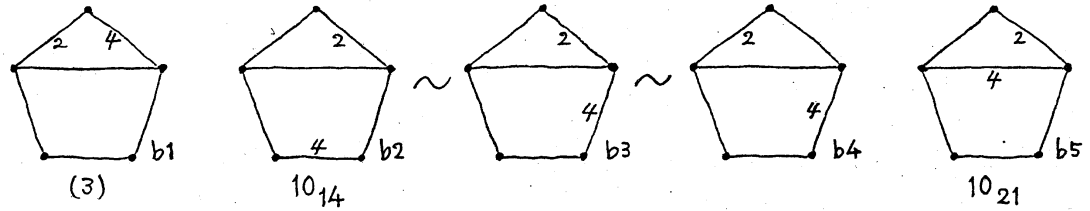
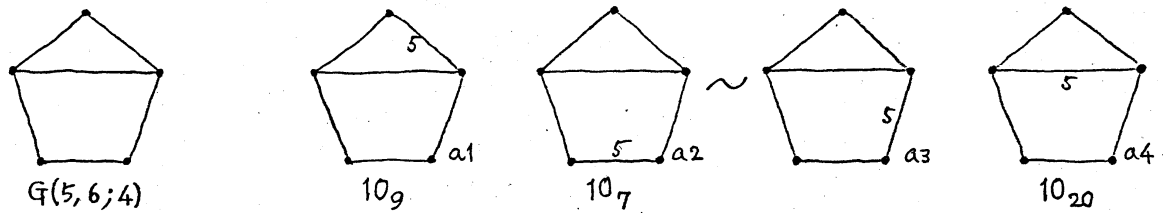
a 1	e 4
b 2	f 2
c 2	g 1
d 4	

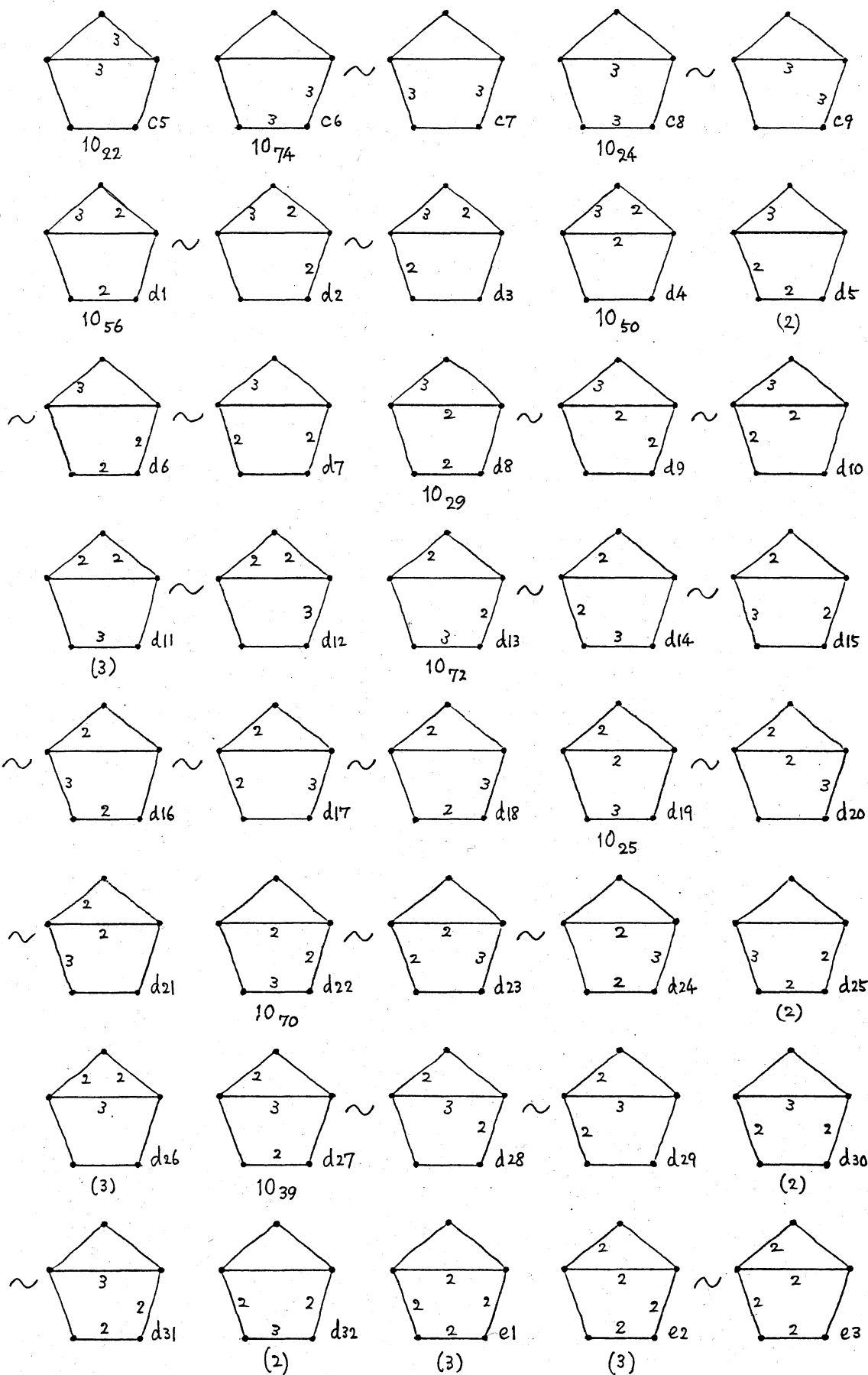
total: 16

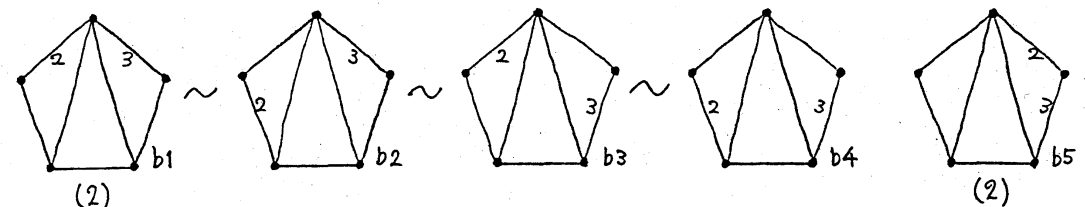
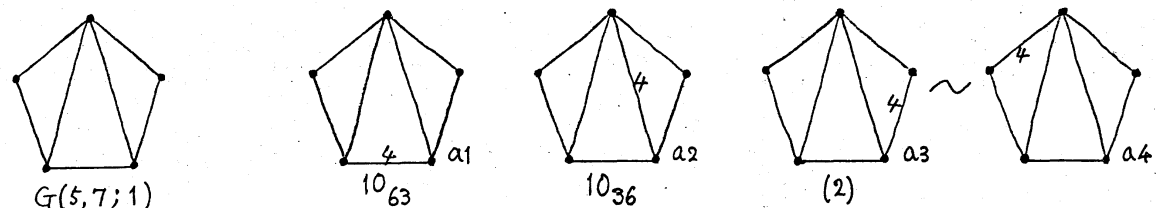
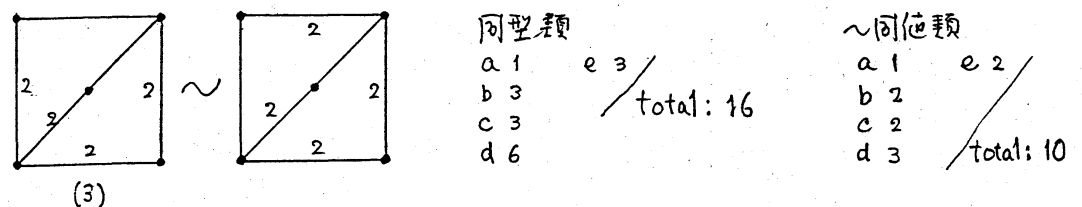
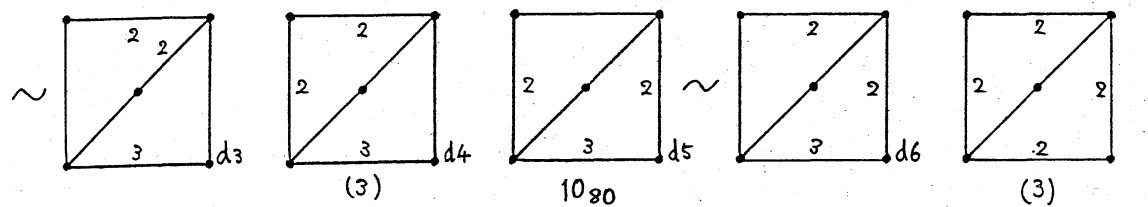
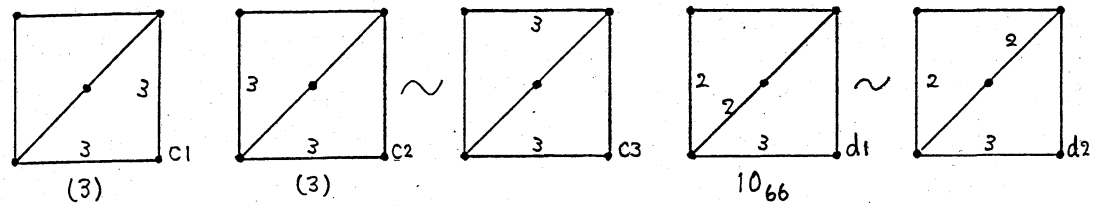
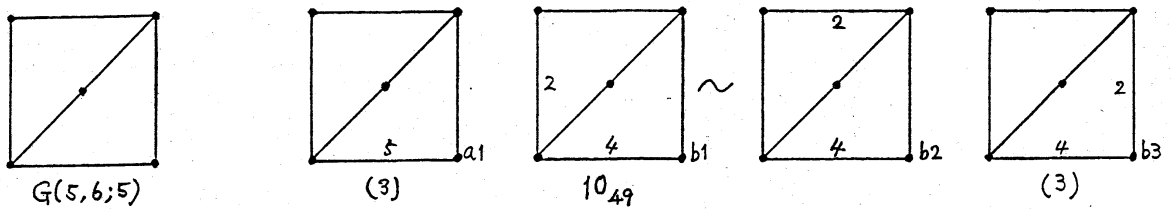
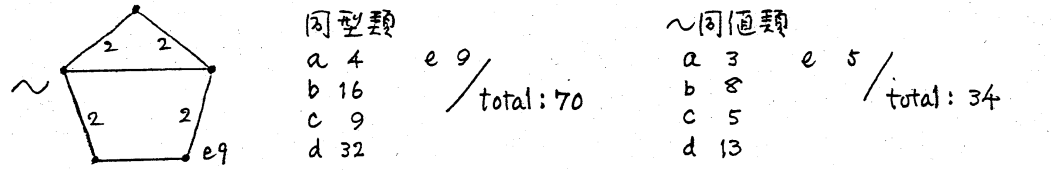
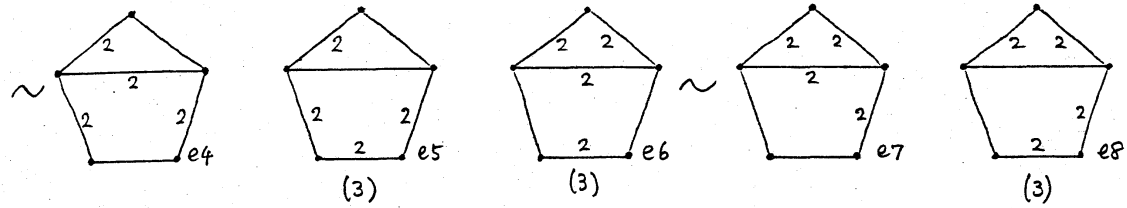
~同值類

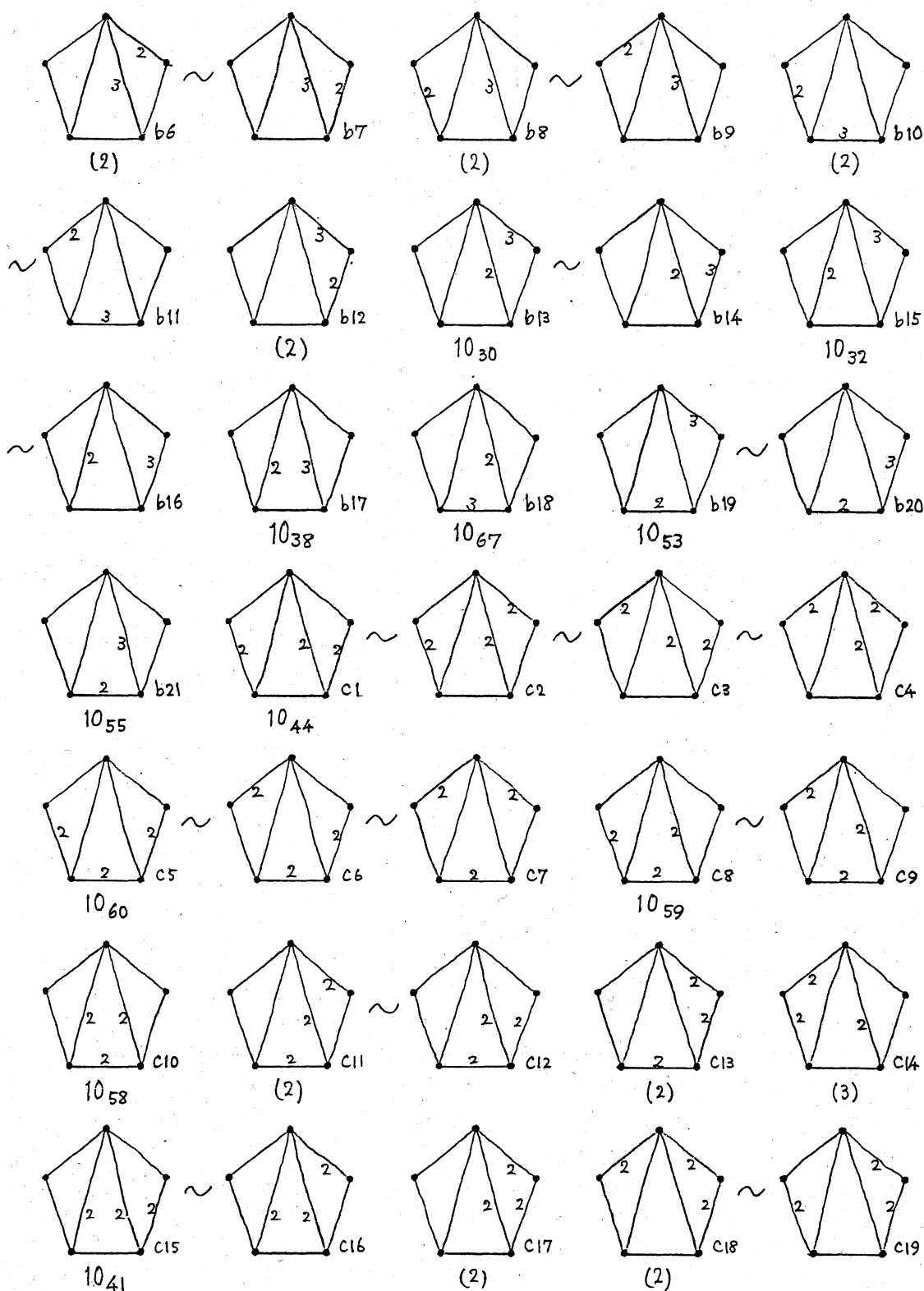
a 1	e 1
b 1	f 1
c 1	g 1
d 1	

total: 7







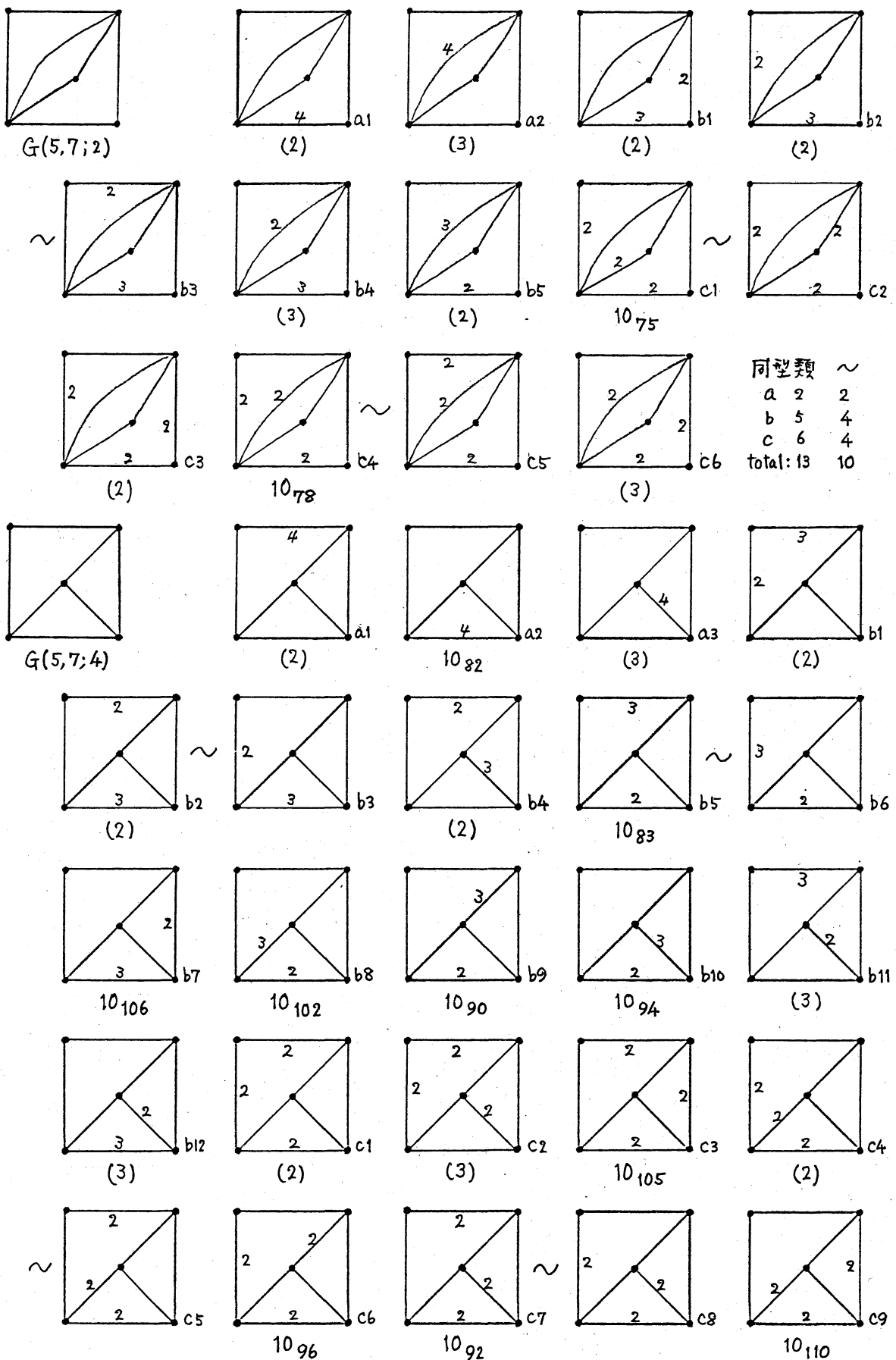


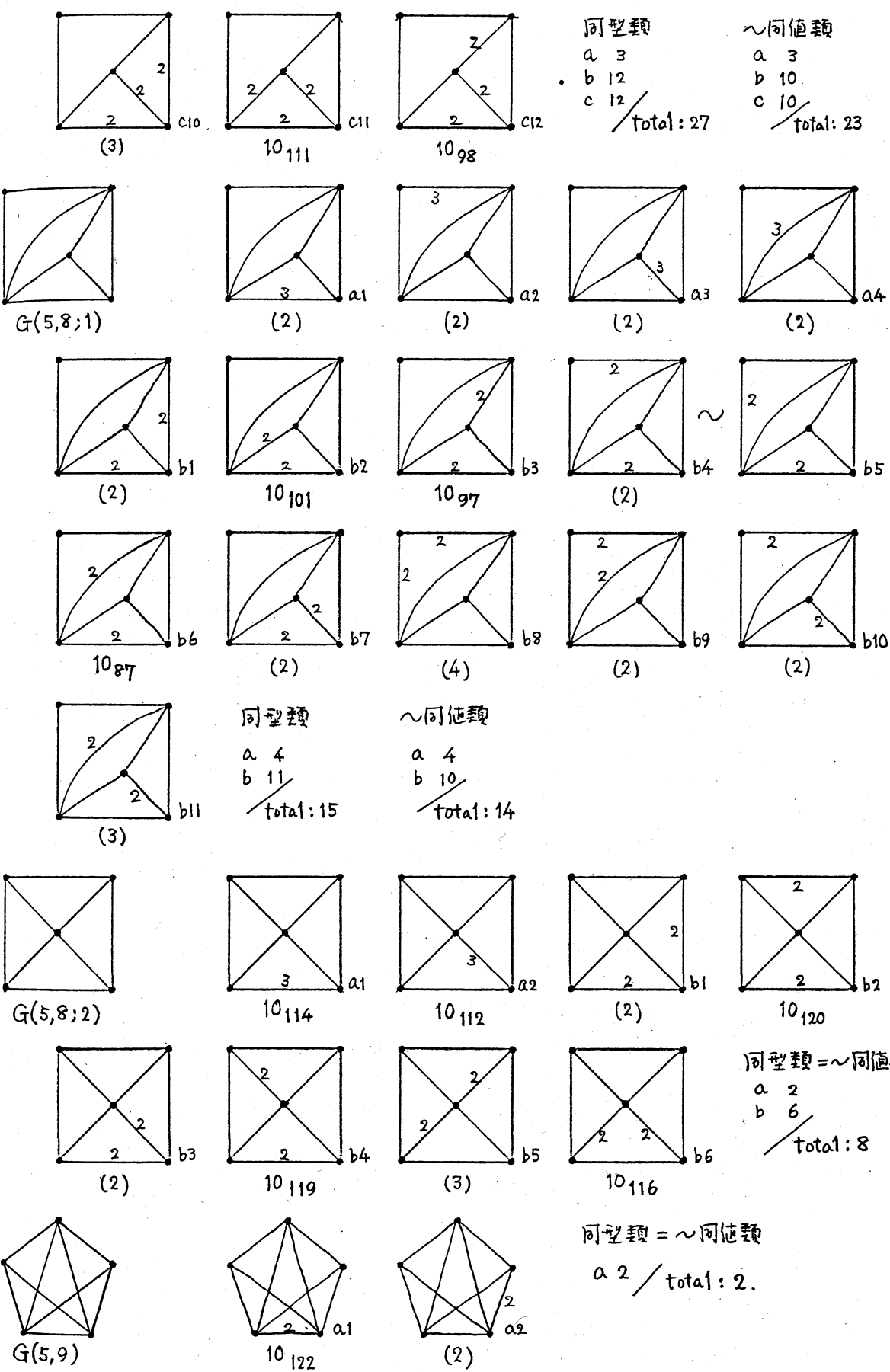
同型類

a 4
b 21
c 19 / total: 44

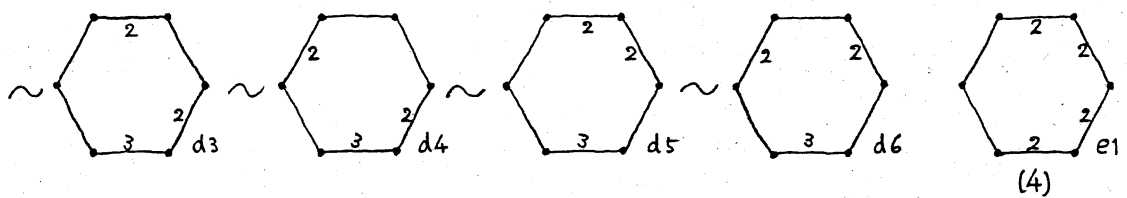
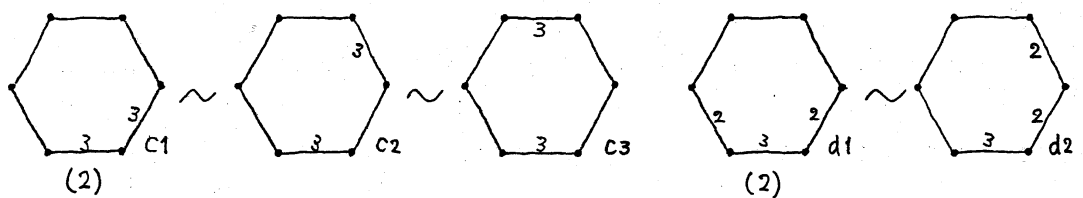
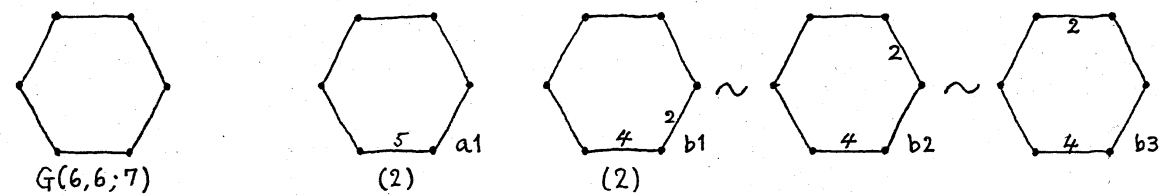
~同值類

a 3
b 12
c 10 / total: 25





Y = 6



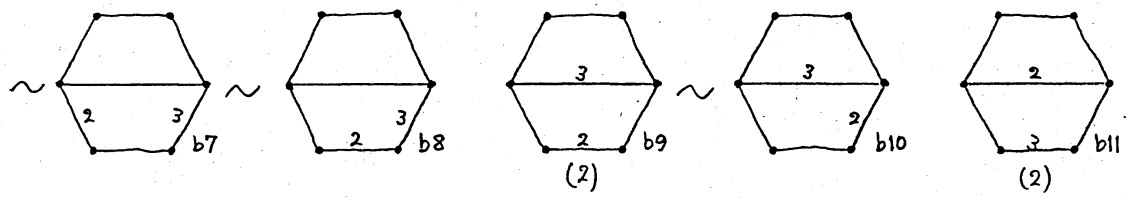
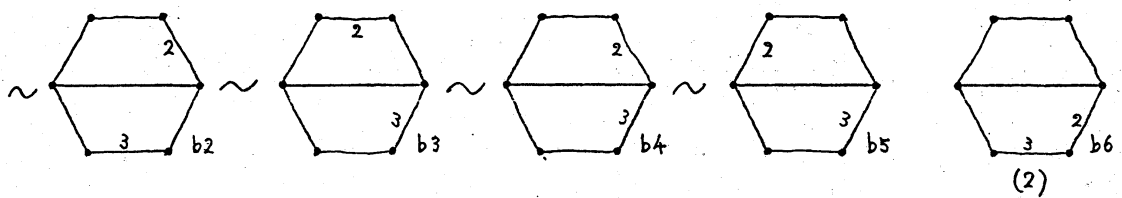
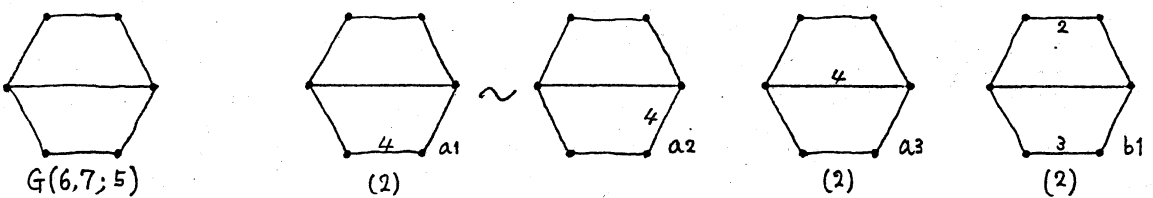
阿型體

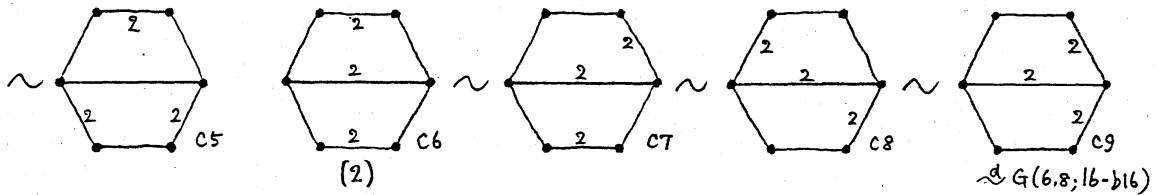
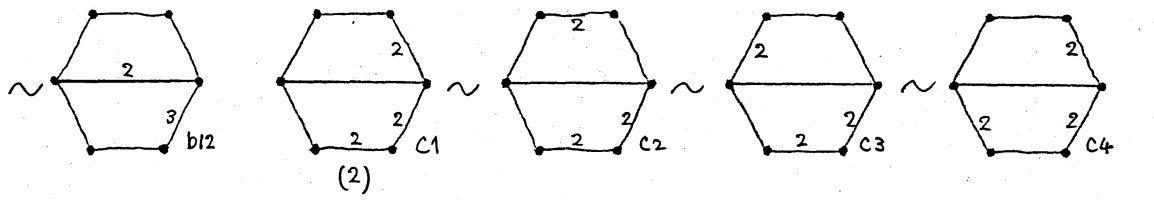
a	1	e	3
b	3		
c	3		
d	6		

total: 16

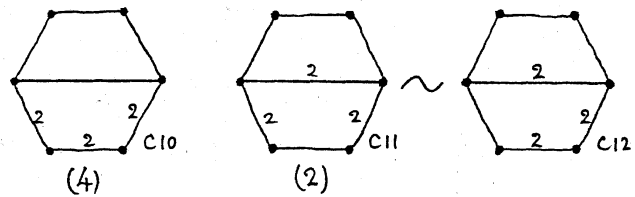
～同值類

a 1 e 1 /
b 1 total: 5
c 1
d 1

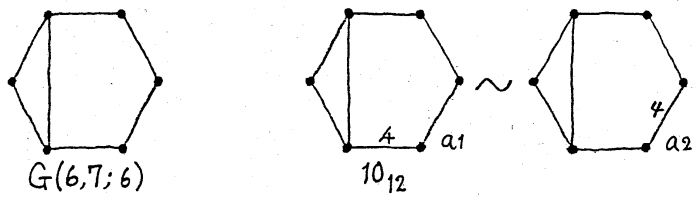




$\sim G(6,8;16-b16)$

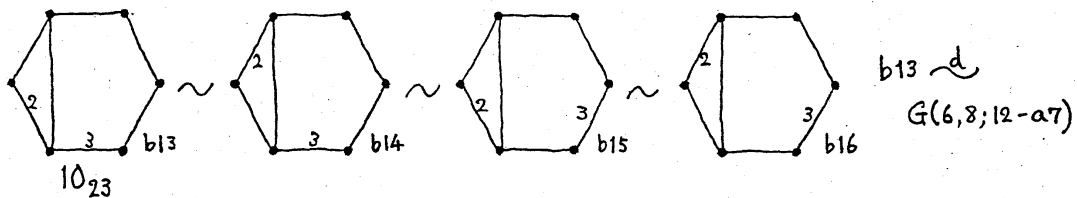
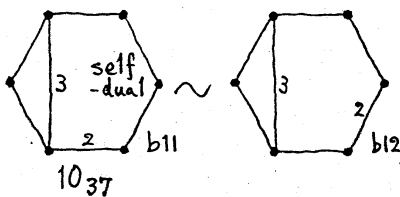
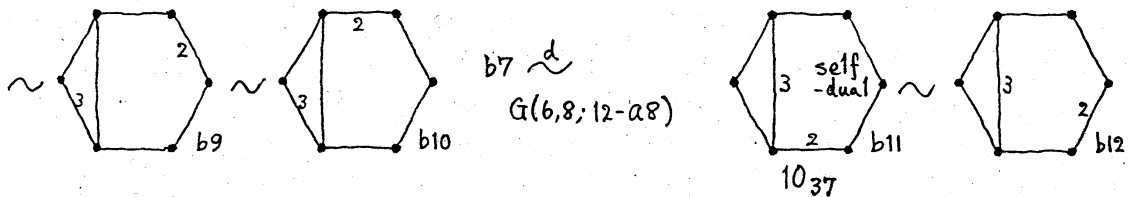
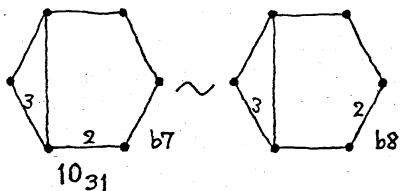
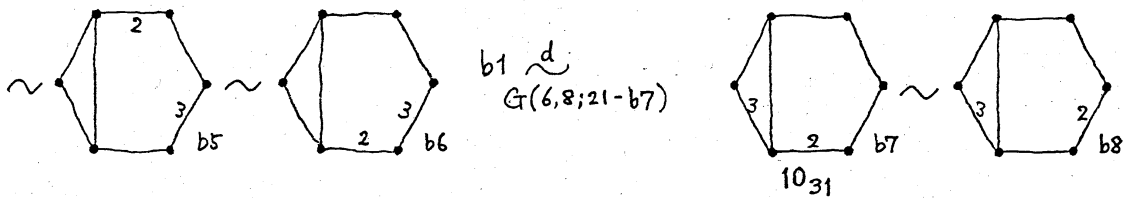
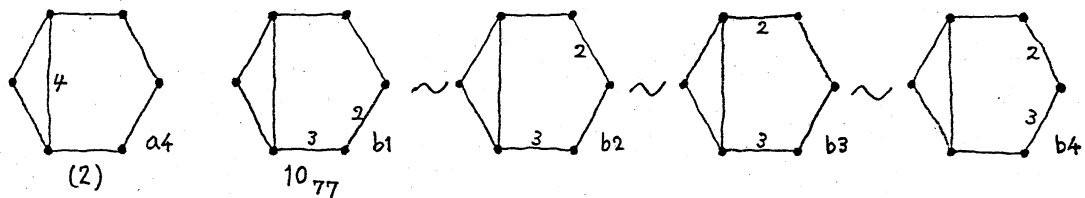
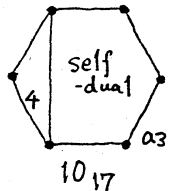


同型類 \sim 同值類
 a_3 a_2
 b_{12} b_4
 c_{12} c_4
Total: 27 Total: 10

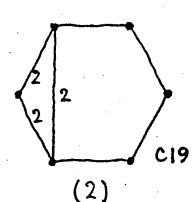
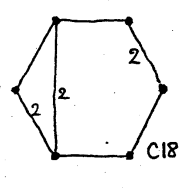
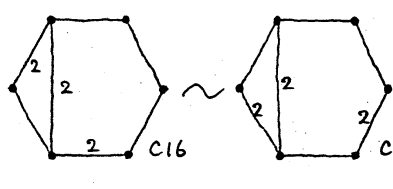
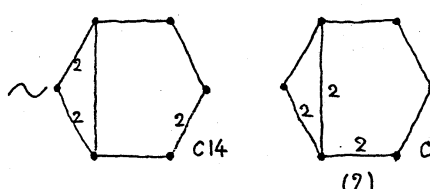
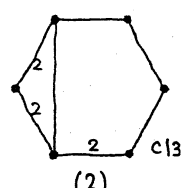
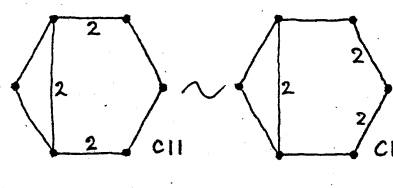
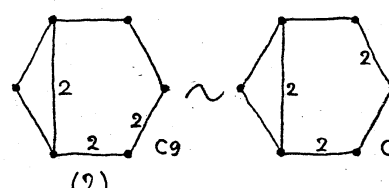
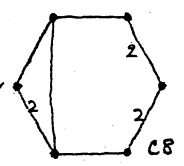
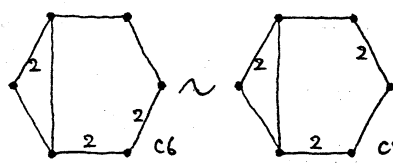
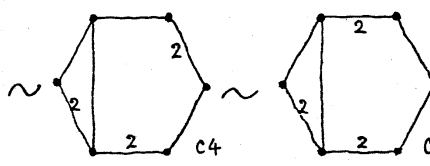
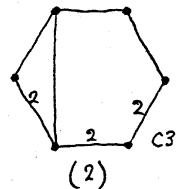
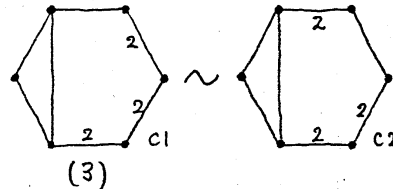
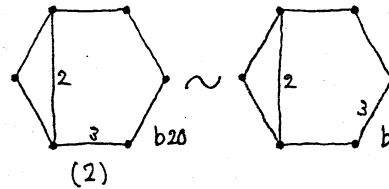
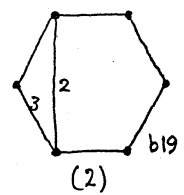
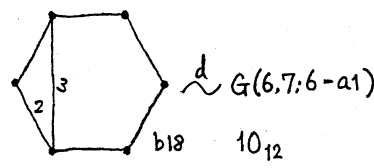
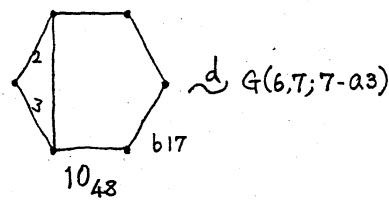


$a_1 \in G(6,7;6-b18)$

は dual
 $\sim d$ を示す。



$G(6,8;12-a7)$

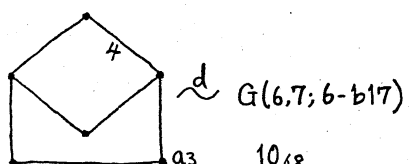
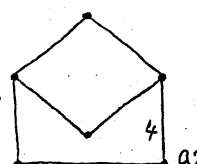
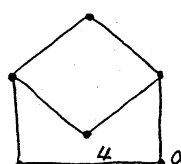
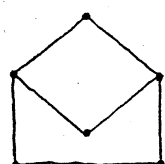


可型類
a 4
b 21
c 19

/total: 44

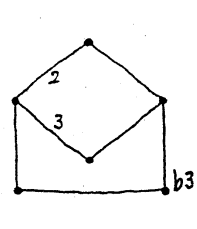
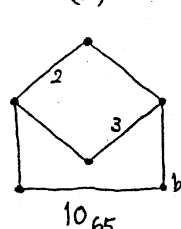
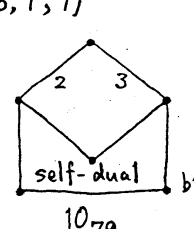
~同值類
a 3
b 8
c 6

/total: 17

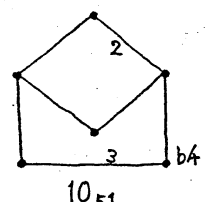


d
 $G(6,7;6-b17)$

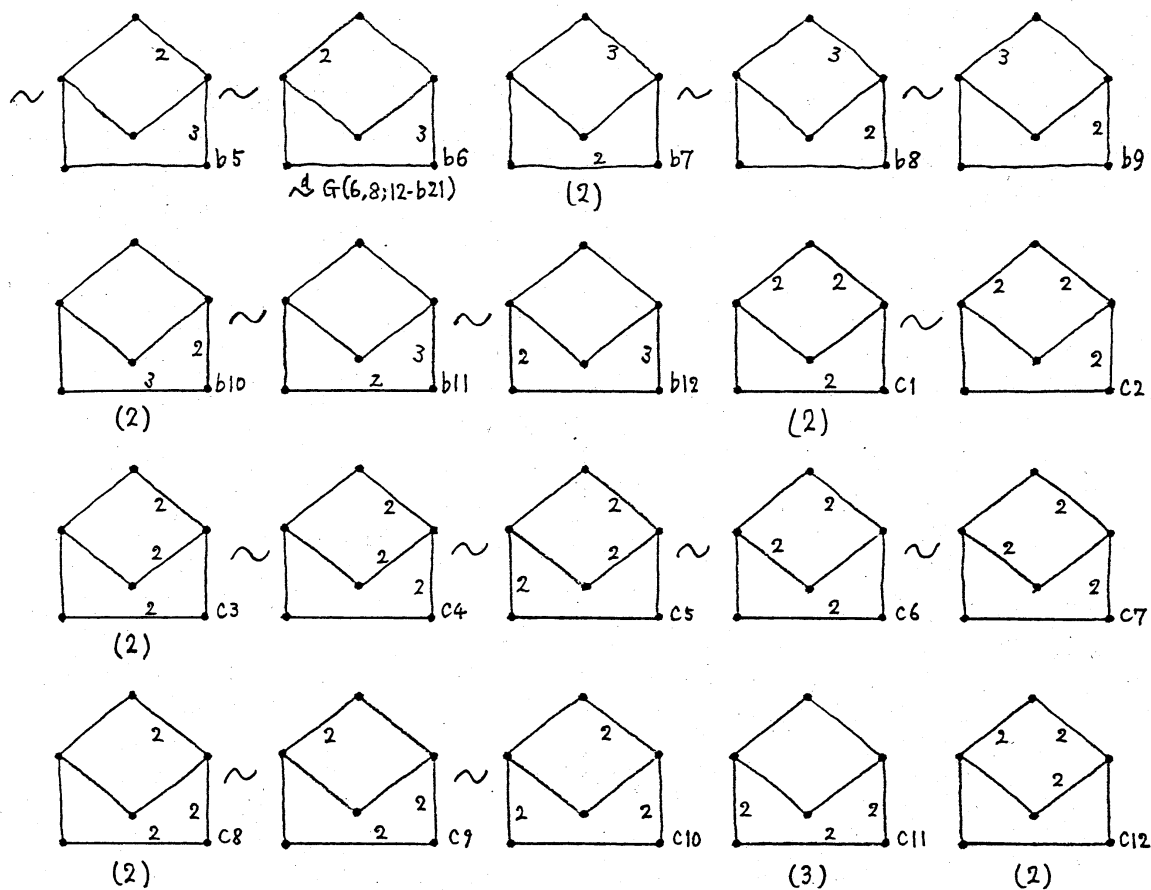
10_{48}



$b2 \sim d$
 $G(6,8;(2-a_3))$



10_{51}



同型類

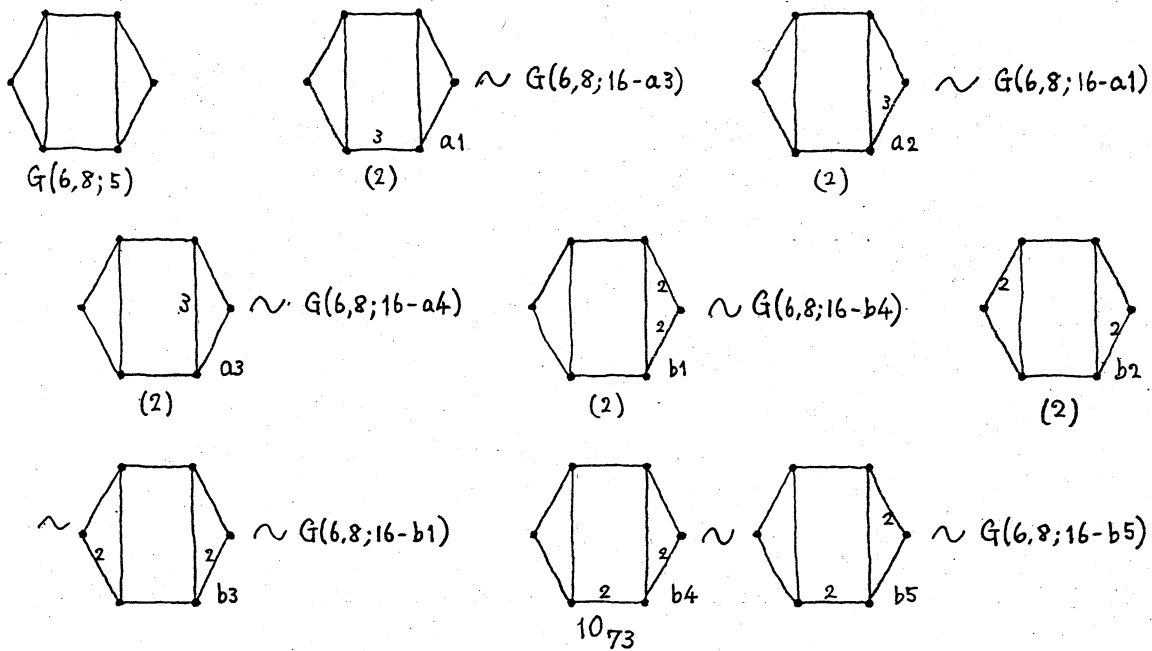
a	3
b	12
c	12

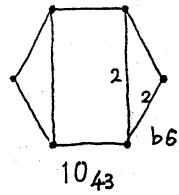
/total: 27

~ 同值類

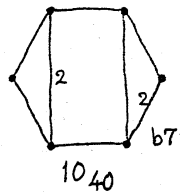
a	2
b	4
c	5

/total: 11

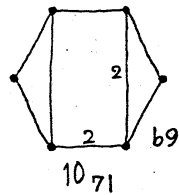
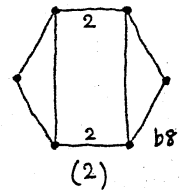




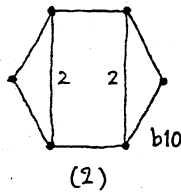
$\sim G(6,8;16-b9)$



$\sim G(6,8;16-b11)$

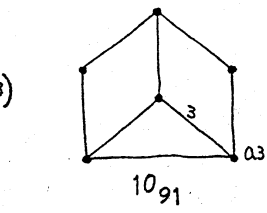
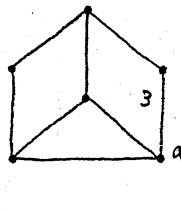
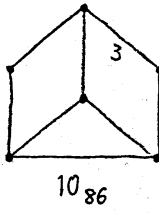
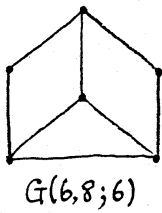


$\sim G(6,8;16-b14)$

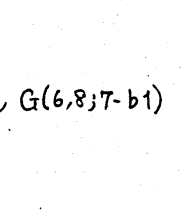
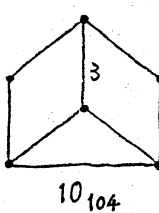


$\sim G(6,8;16-b16)$

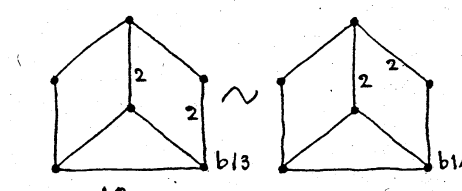
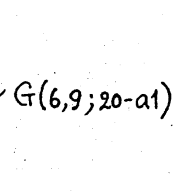
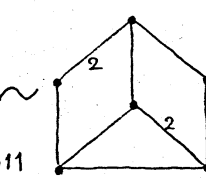
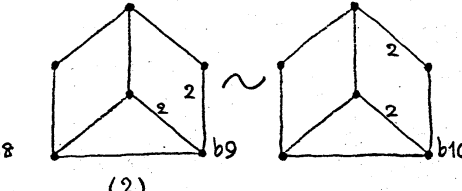
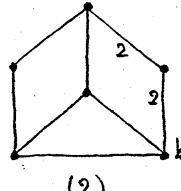
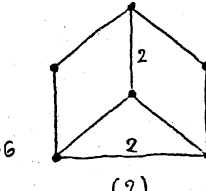
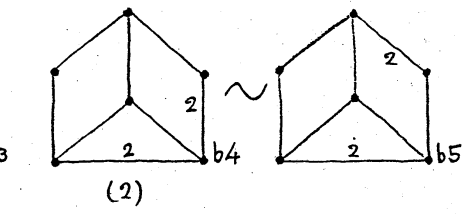
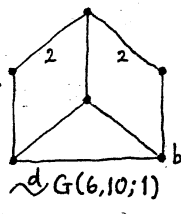
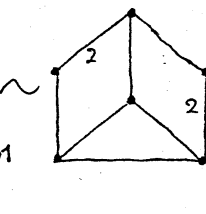
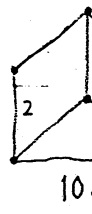
同型類
 $\begin{array}{ll} a & 3 \\ b & 10 \end{array}$
 total: $\begin{array}{ll} 13 & 11 \end{array}$



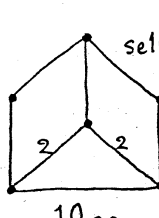
$\sim d G(6,8;7-b7)$



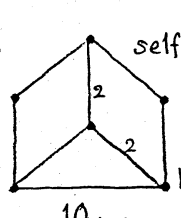
$\sim d G(6,8;7-b2)$



$\sim d G(6,9;13-a5)$

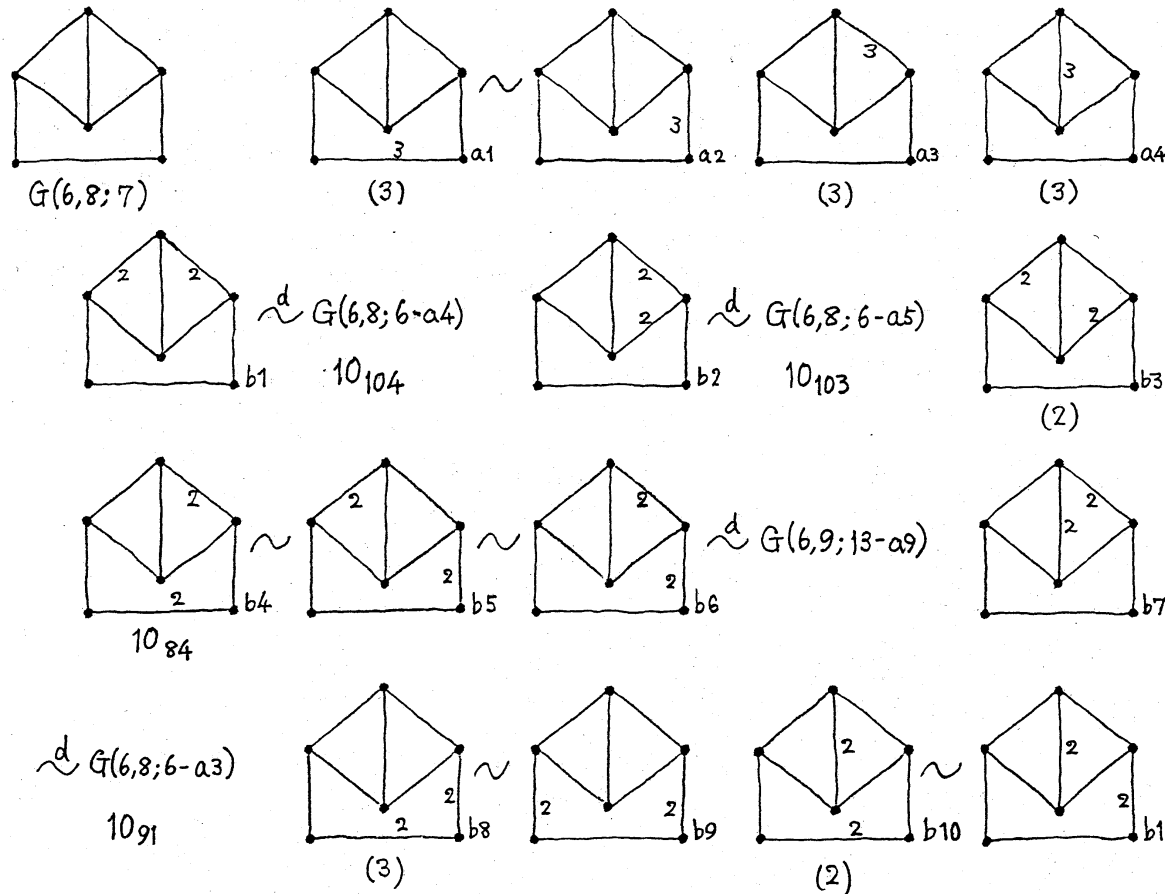


self-dual

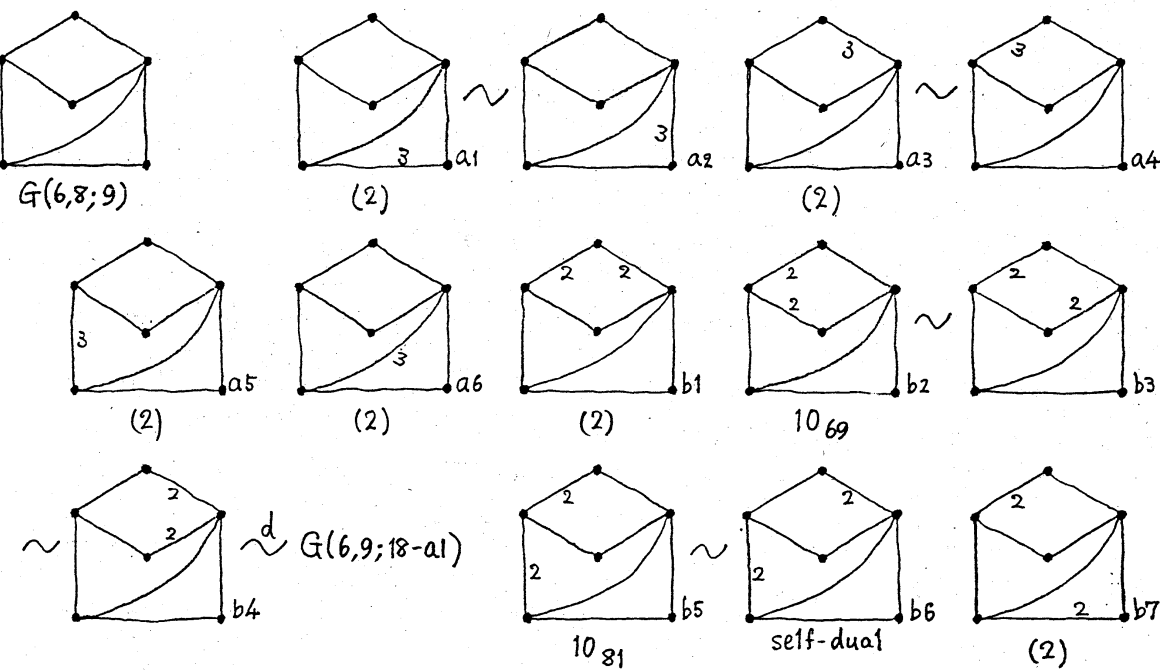


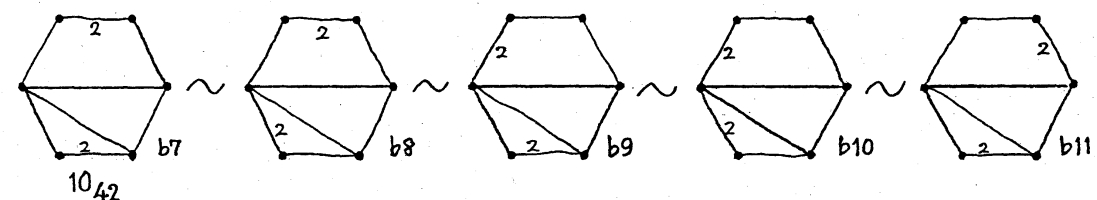
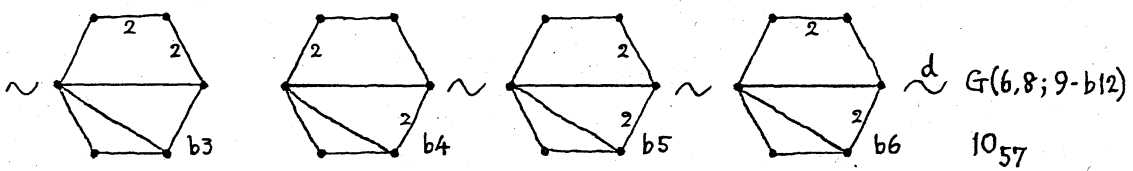
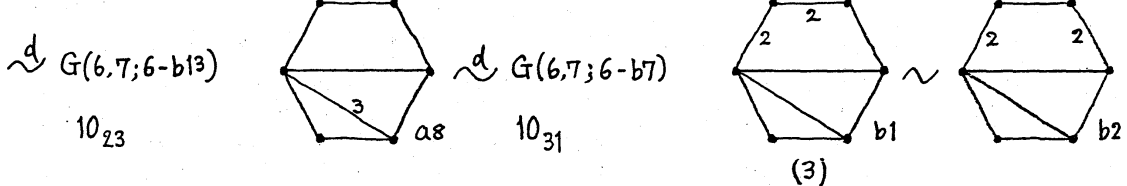
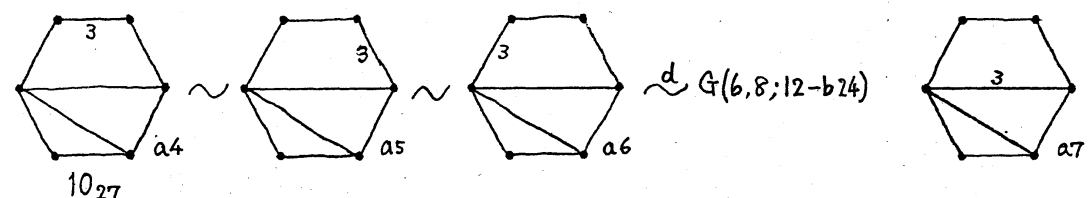
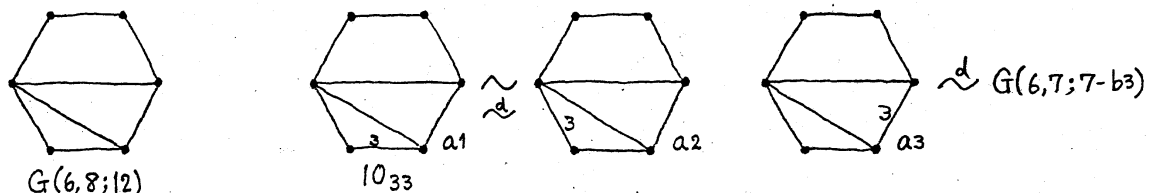
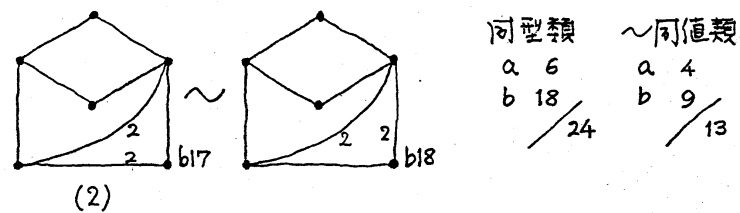
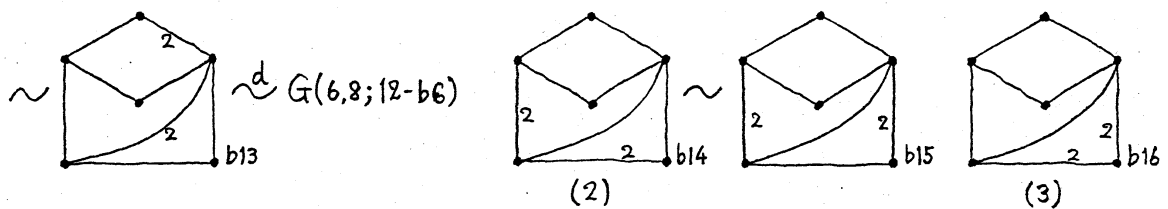
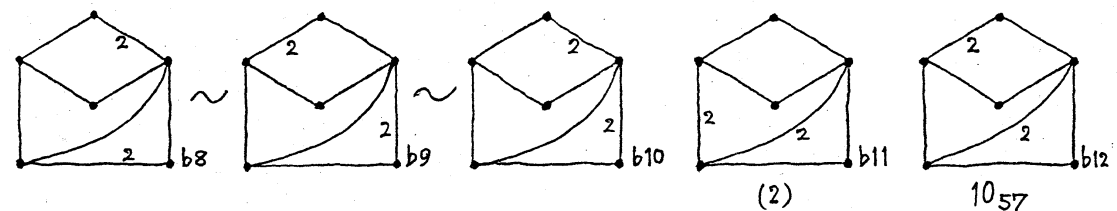
self-dual

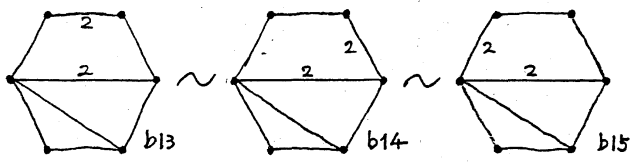
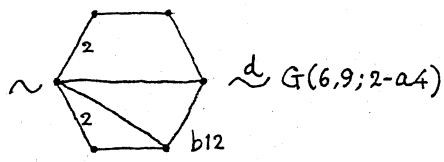
同型類
 $\begin{array}{ll} a & 5 \\ b & 16 \end{array}$
 total: $\begin{array}{ll} 21 & 14 \end{array}$



同型類 同值類
 a_4
 b_{11}
 $/15$
 a_3
 b_7
 $/10$

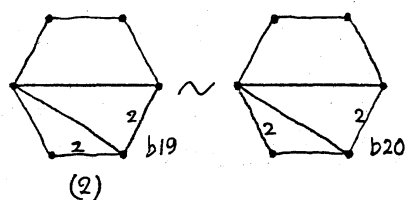
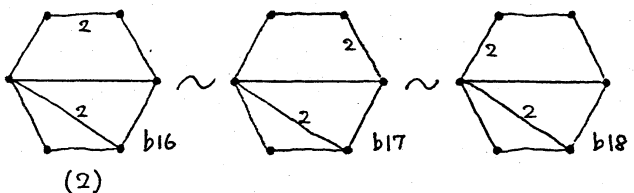




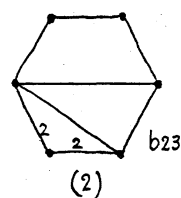
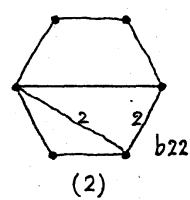
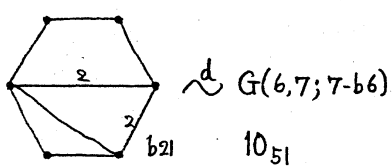


$\sim \text{d} G(6,8;16-b_{11}) \sim G(6,8;5-b_7)$

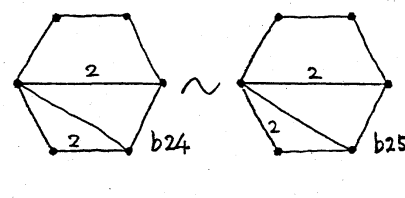
10₄₀



(2)

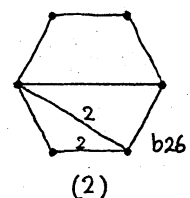


(2)

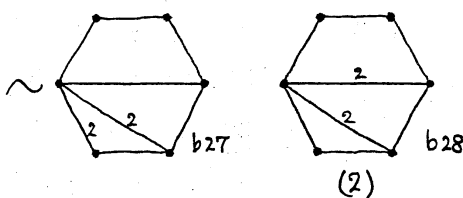


$\sim \text{d} G(6,8;12-\alpha_4)$

10₂₇



(2)

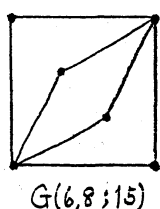


(2)

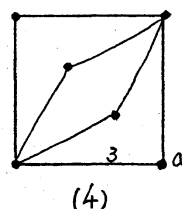
同型類
 $\begin{array}{l} a_8 \\ b_{28} \end{array}$

~ 同值類
 $\begin{array}{l} a_5 \\ b_{12} \end{array}$

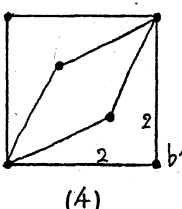
36 17



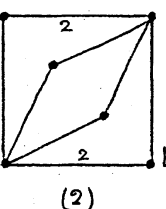
$G(6,8;15)$



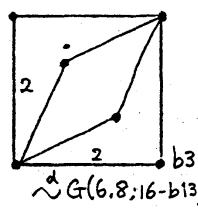
(4)



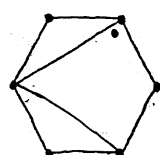
(4)



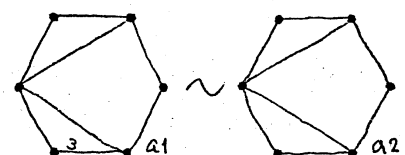
(2)



$\sim \text{d} G(6,8;16-b_{13})$

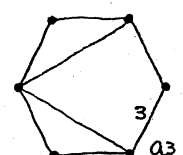


$G(6,8;16)$



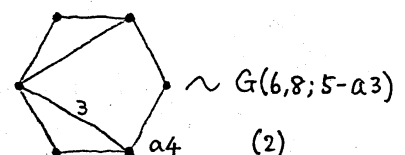
(2)

$\sim G(6,8;5-\alpha_2)$

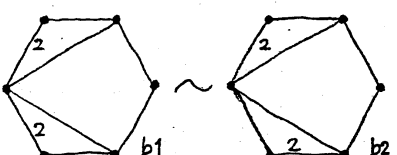


$\sim G(6,8;5-\alpha_1)$

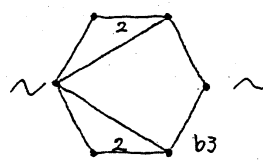
(2)



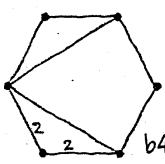
(2)



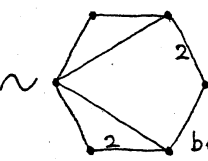
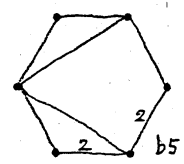
(2)



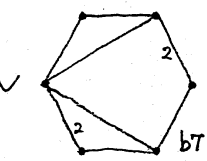
$\sim \sim G(6,8;5-b_3)$
(2)



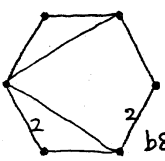
$\sim \sim G(6,8;5-b_4)$
(2)



$\sim \sim \sim$

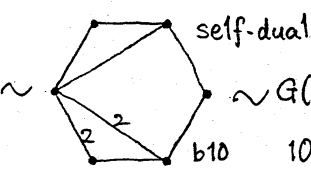
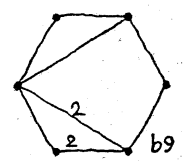


$\sim \sim$

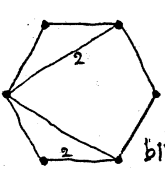


$\sim \overset{d}{\sim} G(6,9;5-a_1)$
 $\sim G(6,8;5-b_4)$

10_{73}

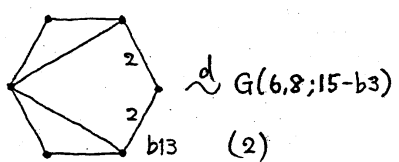


$\sim \sim$
self-dual
 10_{43}

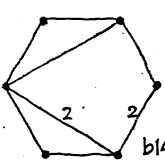


$\sim \overset{d}{\sim} G(6,8;12-b_{15})$
 $\sim G(6,8;5-b_7)$

10_{40}

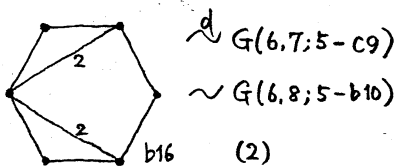


$\sim \overset{d}{\sim} G(6,8;15-b_3)$
(2)



$\sim \overset{d}{\sim} G(6,8;21-b_4)$
 $\sim G(6,8;5-b_9)$

10_{71}



$\sim \overset{d}{\sim} G(6,7;5-c_9)$
 $\sim G(6,8;5-b_{10})$
(2)

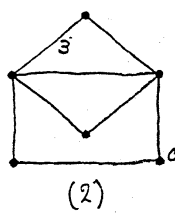
同型類
 a_4
 b_16
20

～同種類
 a_3
 b_8
11

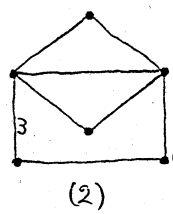
(上)の関係から、 $G(6,8;16)$ は
10-crossings の knots,
links の enumeration は不要



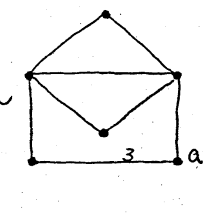
$G(6,8;21)$



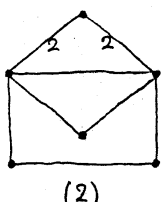
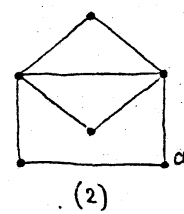
(2)



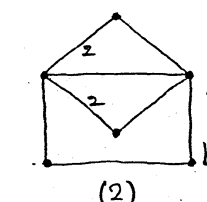
(2)



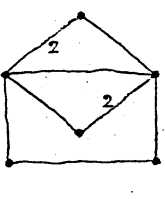
(2)



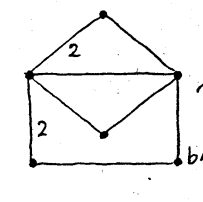
(2)



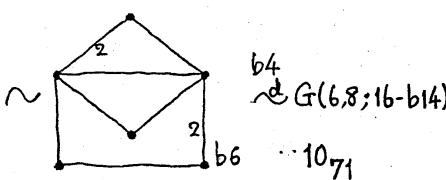
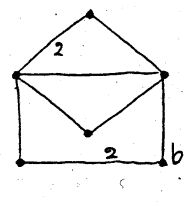
(2)



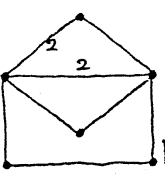
～



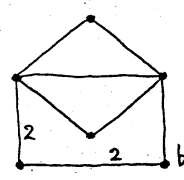
～



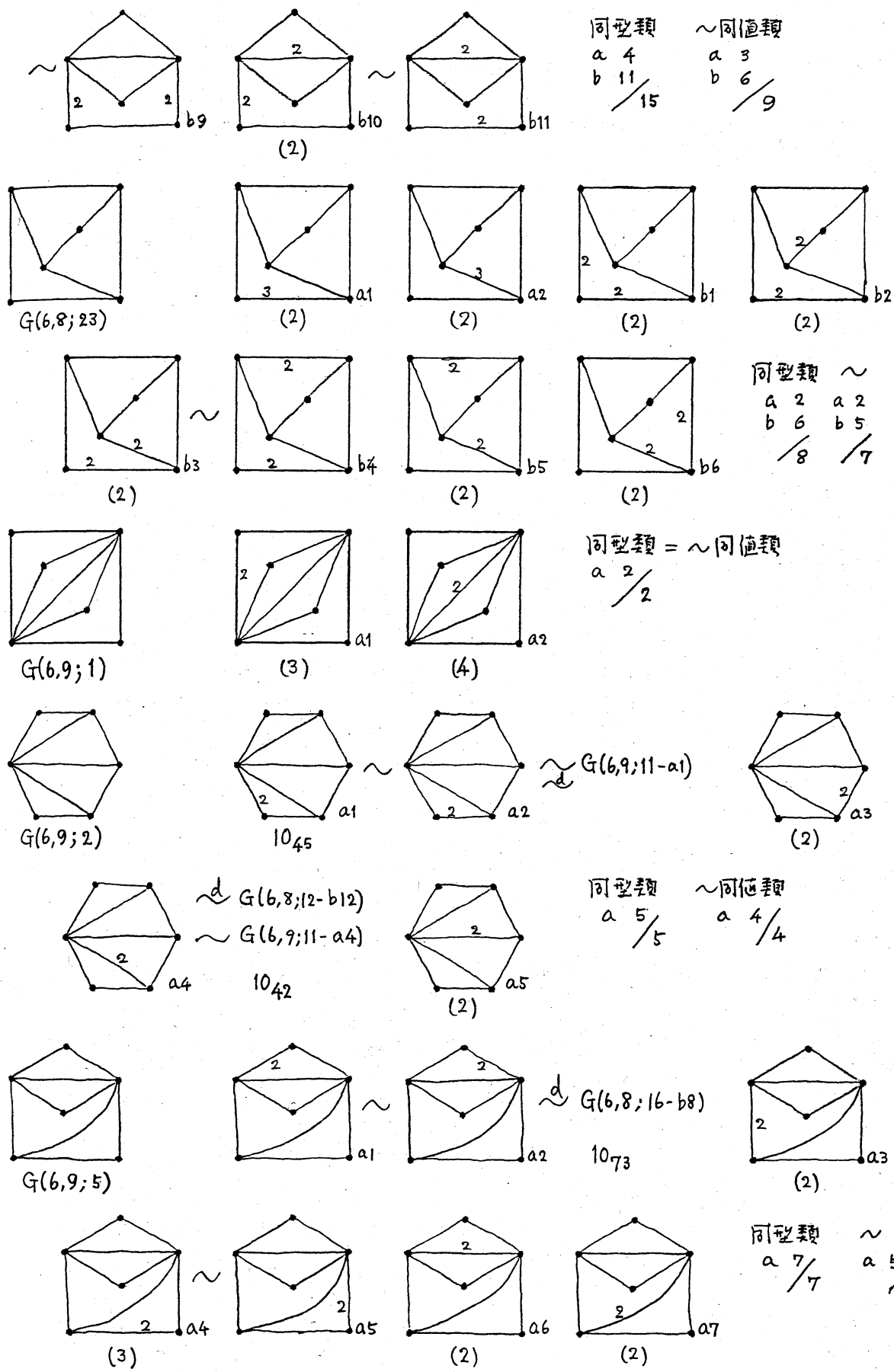
$\sim \overset{b_4}{\sim} G(6,8;16-b_{14})$
 $\sim 10_{71}$

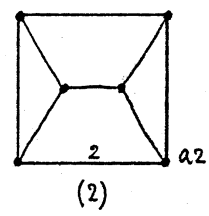
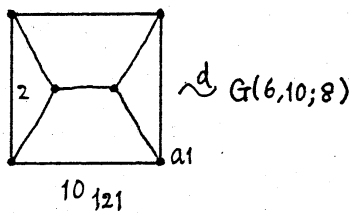
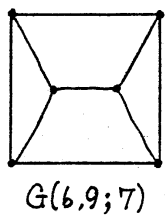


$\sim \overset{d}{\sim} G(6,7;6-b_6)$
 10_{77}

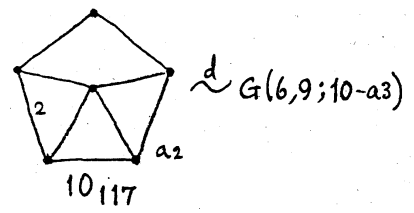
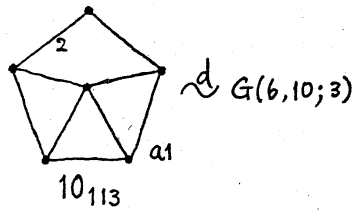
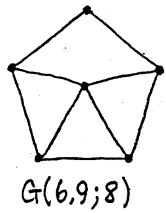


(3)

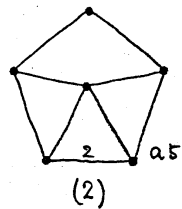
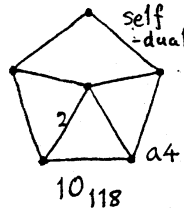
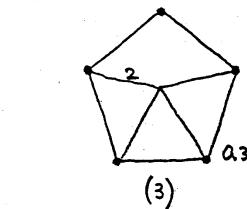




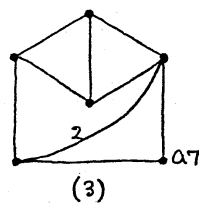
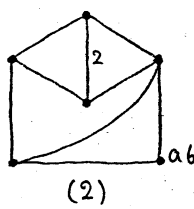
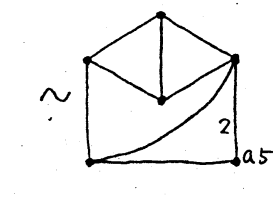
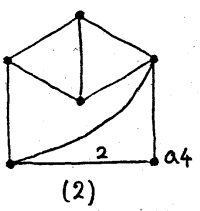
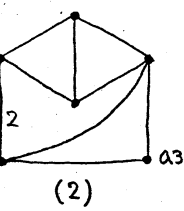
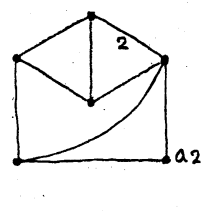
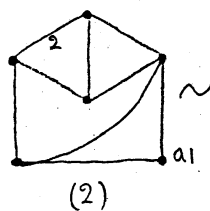
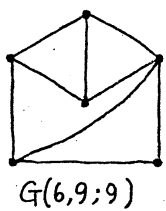
同值類 = ~



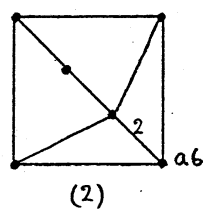
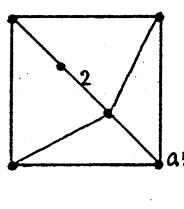
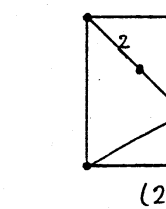
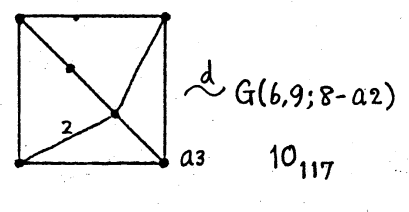
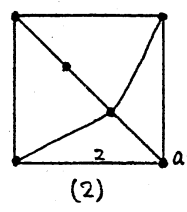
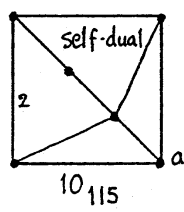
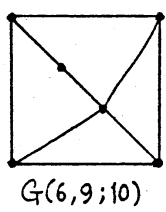
$\sim^d G(6,9;10-a_3)$



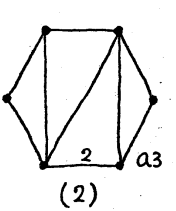
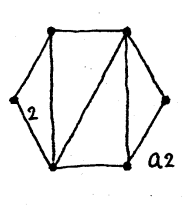
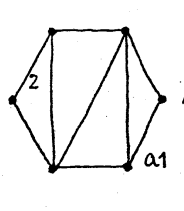
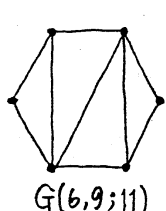
同型類 = ~

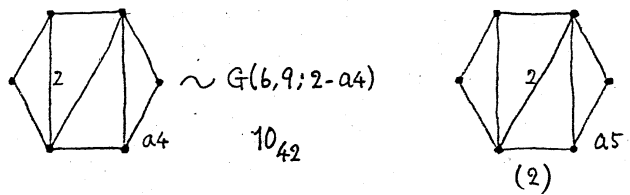


同型類
 $a_7 \equiv$ ~ 同值類
 $a_5 \equiv$

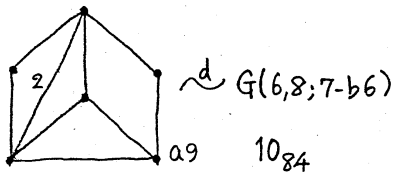
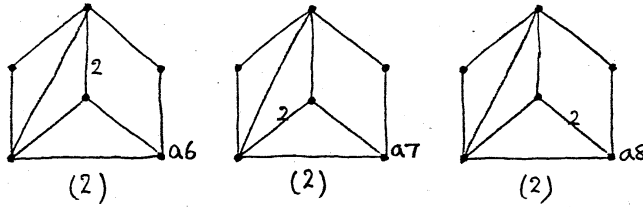
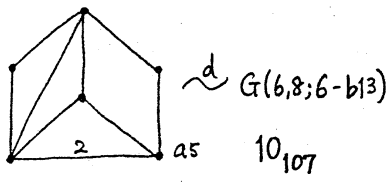
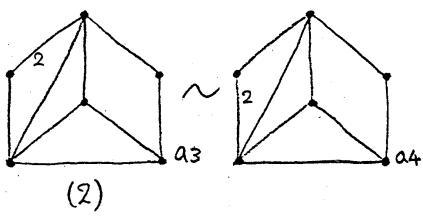
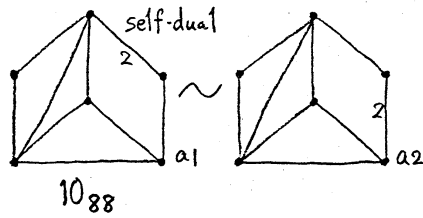
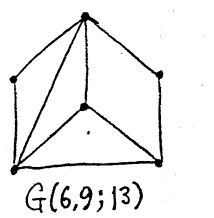


同型類
 $a_6 \equiv$ ~ 同值類
 $a_5 \equiv$

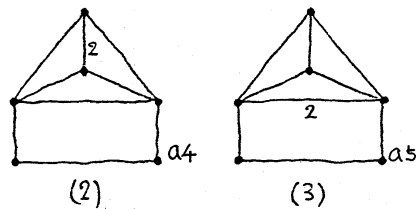
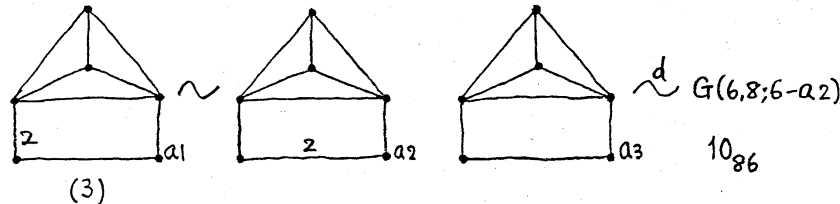
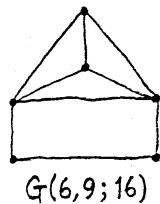




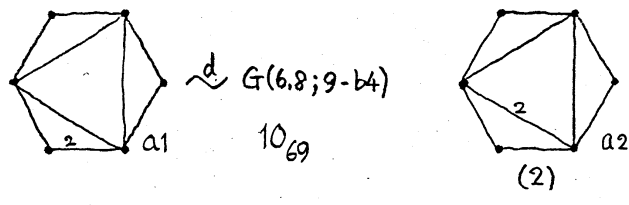
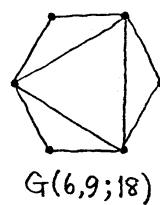
同型類
 $a \underline{\underline{5}} =$
 \sim 同值類
 $a \underline{\underline{4}} =$



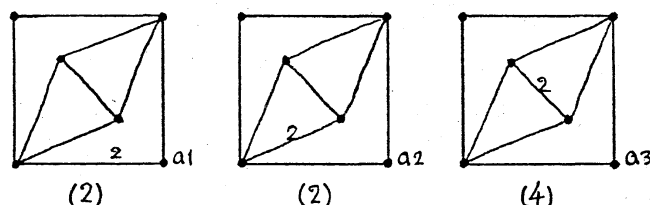
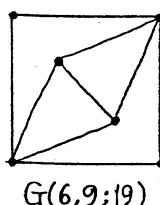
同型類
 $a \underline{\underline{9}} =$
 \sim 同值類
 $a \underline{\underline{7}} =$



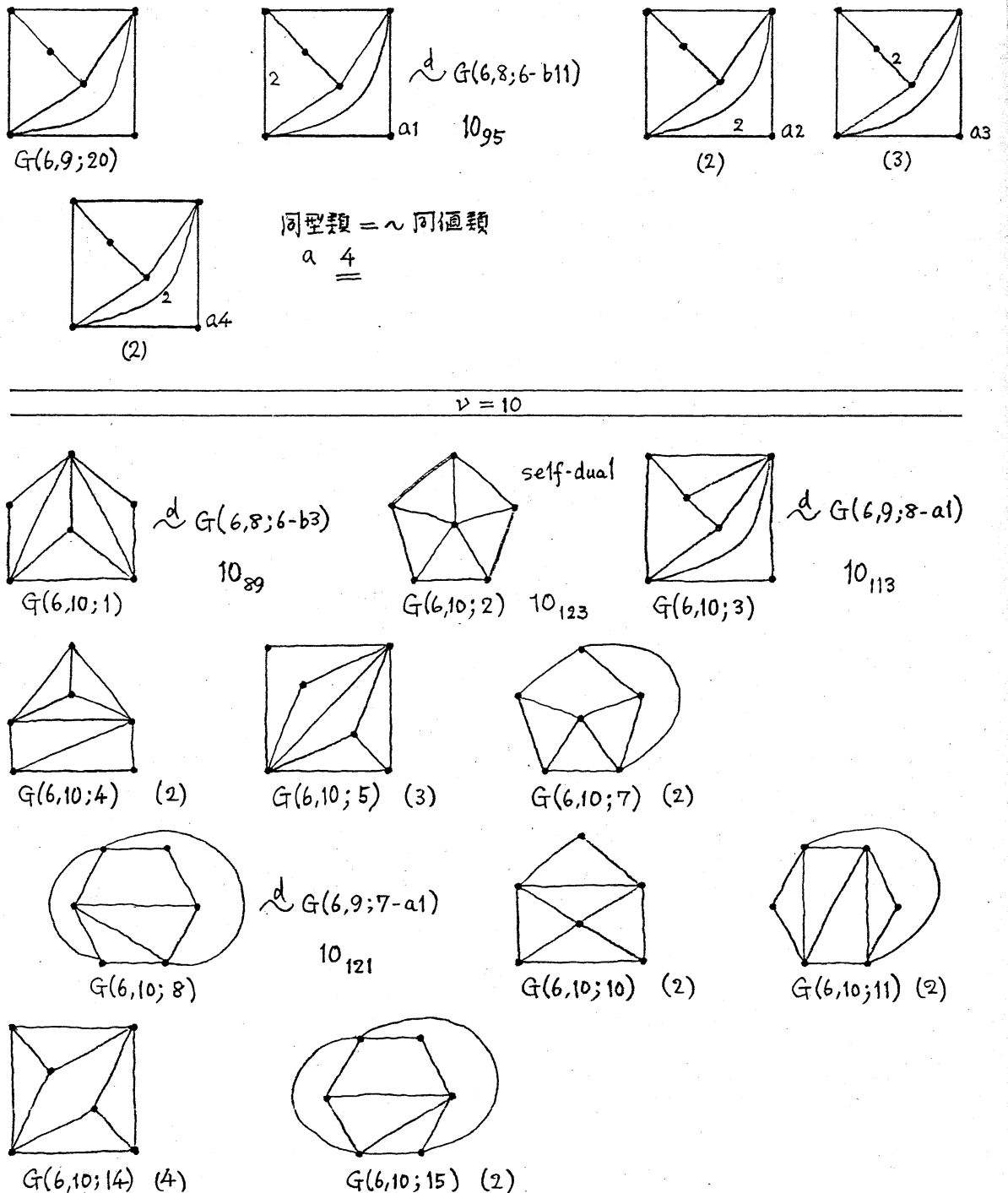
同型類
 $a \underline{\underline{5}} =$
 \sim 同值類
 $a \underline{\underline{4}} =$



同型類 = ~
 $a \underline{\underline{2}} =$



同型類 = ~
 $a \underline{\underline{3}} =$



注：上の図表中、 \sim 同値類の数は、ここに示した数より大きくなことを示す。
 $G \sim d G'$ の記号は、 G の dual G^* と G' が \sim 同値であることを示す。
 特に絡み目となる場合の dual の調べは十分でない。

引用文献

- [A] R.J.Auman : Asphericity of alternating knots, Ann.of Math., 64(1956), 374-392.
- [An] A.L.Anger : Machine calculation of knot polynomials, Princeton Univ.Senior Thesis, 1959.
- [A-B] J.W.Alexander & G.B.Briggs : On types of knotted curves, Ann.of Math., 28(1927), 562-586.
- [Co] J.H.Conway : An enumeration of knots and links and some of their related properties, In : Computational problems in Abstract Algebra(ed.J.Leech), Proc.Conf.Oxford 1967, Pergamon Press, New York 1967, 329-358.
- [Cr] R.H.Crowell : Non-alternating links, Illinois J.Math., 3 (1959), 101-120.
- [D-T] C.H.Dowker & M.B.Thistlethwaite : Classification of knot projections, Topology and its Appl., 16(1983), 19-31.
- [G] L.Goeritz : Knoten und quadratische Formen, Math.Z., 36 (1933), 647-654.
- [H] F.Harary : Graph Theory, Addison-Wesley, Reading,MA.,1969.
- [H-P-R-S] F.Harary, E.M.Palmer, R.W.Robinson & A.J.Schwenk : Enumeration of graphs with signed points and lines, J.Graph Theory, 1(1977), 295-308.
- [H-N-C] F.Harary, R.Z.Norman & D.Cartwright : Structural Models, John-Wiley & Sons, New York-London-Sydney, 1965.
- [Ki] T.P.Kirkman : The enumeration,description and construction of knots of fewer than ten crossings, Trans.Roy.Soc. Edinburgh, 32(1885), 281-309.
- [Ko.1] 小林一章 : グラフと結び輪に囲む多項式, 數理解析研究所講究録 #566 (1985), 130-144.
- [Ko.2] 小林一章 : 結び目理論に現れるグラフについて, 本講究録.

- [L] C.N.Little : On knots with a census to order 10, Trans.Conn Acad.Sci., 18(1885), 374-378. Alternate \pm knots of order 11, Trans.Roy.Soc.Edinburgh, 36(1890), 253-255. Non-alternate \pm knots, ibid. 39(1900), 771-778.
- [N1] 中西康剛 : Knots & enumeration の話題から, 數理解析研講究録 #369(1979), 110-121.
- [N2] 中西康剛 : Alexander invariants of Links, 神戸大学修士論文, 1980.
- [P1] K.A.Perco : On the classification of knots, Proc.Amer.Math Soc., 45(1974), 262-266.
- [P2] K.A.Perco : Invariants of 11-crossing knots.(to appear).
- [Re] K.Reidemeister : Knotentheorie, Ergeb.Math.Grenzgeb., Bd.1, Springer, Berlin, 1932.
- [Ro] D.Rolfsen : Knots and Links, Publish or Perish, Berkeley, CA., 1976.
- [S] 鈴木晋一 : On the Kirchhoff-Goeritz matrix of a signed graph (in Japanese), 箱根セミナー報告集, 1985.
- [Ta] P.G.Tait : On knots I, II, III. In : Tait's Scientific Papers I, Camb.Univ.Press, London, 1898.
- [Th] M.B.Thistlethwaite : Knot Tabulations, In : Aspects of Topology, London Math.Soc.Lecture Note Series #93, Camb.Univ.Press, 1985, pp.1-76.
- [To] 徳田玄太郎 : 結び量 & Goeritz 行列について, 日本大学農獸医学部研究紀要, 10(1974), 19-24.
- [Y-K] T.Yajima & S.Kinoshita : On the graphs of knots, Osaka Math.J., 9(1957), 155-183.